

Ecole Polytechnique THIES



Gm. 0301

ETUDE ET OPTIMI-
SATION D'UN CHAUFFAGE
EAU SOLAIRE INTEGRÉ
À UN RESEAU DE DISTRIBUTION
D'EAU CHAUDE
SANITAIRE

AUTEUR: Modibo DIOP

DIRECTEUR: A. WOLSKI

juin 84

DEDICACE

Cette thèse d'ingénieur est
dedicacée à:

Tous ceux qui de près ou de loin
ont contribué à ma formation.

A ma grand-mère

A ma mère, à mon père

A ma femme

A ma fille chérie

Et enfin à tous
ceux qui croient
et œuvrent pour
un SENEGAL MEILLEUR

REMERCIEMENTS

Je tiens à remercier le plus sincèrement

- M^E Andre WOLSKY mon directeur de thèse pour sa disponibilité et ses conseils.
- M^E Bouchard pour son concours technique
- M^E Martin pour ses conseils et suggestions
- Ainsi que tous mes collègues pour leurs conseils et encouragements dans la poursuite de l'effort de recherche appliquée.

table des matières

<u>Titre</u>	<u>Page</u>
Page titre	
Dédicace'	i
Rémerciements	ii
Sommaire	iii

A Introduction 1

B Etude et optimisation

chapitre I: Modèles d'ensoleillement 8

A- Calcul des Irradiances 8

B- Calcul de la radiation 11

C- Optimisation de l'inclinaison

β du capteur intégré. 17

chapitre II: Etudes des Besoins 23

A- Dimensionnement de l'installation
d'Eau chaude Sanitaire 23

I- Evaluation des Besoins

Chapitre III: Choix des Matériaux 27

I- Définition des propriétés optiques
des Matériaux

II- Absorbance α et l'emitance E_2	28	iv
III- Reflectance R_2	31	
IV- Transmittance γ	32	
V- choix des Materioux du capteur	33	

Chapitre IV: Optimisation thermique du capteur intégré 40

A- Modele d'échange durant le jour sans charge	41
B- Modele d'échange durant la nuit sans charge	43

C- Reduction des Solutions parac metriques des deux modèles en équations Algébriques	44
---	----

D- Modele d'échange thermique durant le jour avec charge	47
--	----

Chapitre V: Conception & Experimentation du capteur solaire 50

A- Description du modèle expérimental	
B- Design du réservoir ou absorbeur	53
C- Mesures Expérimentales	60
D- Comparaison prévisions théoriques et réalités expérimentales.	69

E- Etude des performances ou économies
énergétiques dues au système combiné:
chauffe eau électrique et chauffe eau
solaire. 74

Chapitre VI: Etude Economique ou financière
81

C Conclusion et recommandations 84

Annexe p 85 à 114

Courbes n° 1 à 9

Plans capteur

Document ensoleillement 7 stations Météo-
Nationale

Programmes calcul B optimum

• Resolution équation différentielle

Méthode Kutta-Gill.

Bibliographie

111

SOMMAIRE

Cette thèse se situe dans le but des économies d'énergie d'origine classique basées sur la recherche appliquée.

Il s'agit pour des pays comme l'enôtre d'alléger la facture pétrolière en intégrant voire même en substituant l'énergie solaire à l'énergie électrique dans des applications aussi importantes que l'utilisation domestique.

Cette tâche est certes difficile car la connaissance de phénomènes solaires et l'augmentation durablement des installations ne peut reposer que sur des études profondes et sérieuses. Le présent projet se veut une pièce anglaise dans le design de système solaire optimisé en vue de vulgariser la technologie et les bienfaits d'une telle énergie nouvelle et renouvelable aux moindres coûts. L'importance du chauffage de l'eau sanitaire dans les applications domestiques n'est plus à démontrer. Il reste à dimensionner des systèmes de chauffage capables d'honorer ces objectifs avec des rendements performants.

A INTRODUCTION:

Cette étude se situe dans la lignée de l'amélioration du rendement d'une nouvelle série de capteur solaire récemment expérimentée à l'Ecole Polytechnique. Le capteur solaire intégré rompt avec la tradition des capteurs plans, car son réservoir d'accumulation est directement placé sous le vitrage sélectif, par le phénomène d'effet de serre le réservoir reçoit le rayonnement transmis par le vitrage; ensuite par conduction thermique l'eau contenue dans le réservoir s'échauffe.

L'Ecole Polytechnique de Thies est la "marraine" de cette nouvelle ère de capteur.

Le but de cette étude repose sur l'optimisation d'un tel système. Cependant avant d'aborder le corps de l'étude faisons une rétrospective des énergies renouvelables en général et de l'énergie solaire en particulier.

L'énergie solaire se situe dans la gamme des énergies nouvelles et renouvelables dont l'exploitation est devenue une nécessité si l'humanité veut survivre. Le problème de la dégradation et de l'épuisement des énergies classiques pose la question fondamentale de

² l'alternative energetique du monde moderne.

Il s'agit aujour d'hui de repenser le present pour mieux imaginer et preparer l'avenir dans le but de sauvegarder la civilisation moderne. L'incidence des energies classiques sur l'eniveau de la vie moderne est tellement importante qu'il ^{est} difficile d'imaginer une ville comme New-York sans ~~electricité~~, quant aux risques que ces energies presentent du point de vue de leur exploitation et de leur equipement immediat, nous voyons qu'il est urgent aujour d'hui que l'humanité toute entière pense à l'alternative energetique: l'avenir du monde en depend.

Les energies nouvelles et renouvelables representent une alternative de faille à ce probleme majeur. Neamoins il reste à accentuer les recherches appliquée et fondamentale dans ce domaine pour mieux vulgariser leur utilisation.

Cependant ces energies ne doivent pas être utilisées dans n'importe quelle proportion, il ne faudrait pas que l'humanité commette de nouveau l'erreur que la civilisation moderne a connu a ses debuts: ne pas rationnaliser l'exploitation des sources d'energies classiques.

Pour ce faire il s'agit de dimensionner des systèmes optimums capables aux moindres coûts de disposer efficacement des sources énergétiques modernes.³

L'objectif de cette étude est d'optimiser l'utilisation de l'énergie solaire dans un domaine aussi important que le chauffage de l'eau sanitaire.

Face à tout problème pratique l'homme a toujours cherché à trouver la meilleure solution : les Heros de l'Antiquité avaient déjà ce souci de l'optimisation. L'utilisation des techniques de l'optimum est tellement répandue qu'il est aujourd'hui difficile de citer un domaine scientifique où l'optimisation n'a pas une place de choix. Car c'est un mode de raisonnement et de recherche qui non seulement a fait ses preuves, mais reste un moyen bon marché d'étudier des problèmes complexes.

On pourrait se poser la question de savoir comment optimiser un système dont on connaît pas encore ses caractéristiques (formes, dimensions, évolution,...), une telle question serait restée sans réponse s'il n'existaient pas aujourd'hui les techniques de systèmes modélisables théoriquement avant d'être expérimentés.

4
La modélisation mathématique ou physique doit dégager l'essentiel d'un tout complexe et surcharge de détails, à fin de sélectionner les paramètres significatifs qui gouvernent un système donné

Le modèle mathématique est élaboré pour prédire et prévoir des comportements; ainsi on parvient à déduire (avant la réalisation du système) les paramètres significatifs qui serviront de base à la phase de conception.

Il est vrai qu'un modèle ne prétend pas expliquer le comportement complet d'un système, mais il est élaboré pour expliquer et prévoir certains aspects primordiaux du système: donc des écarts naîtront nécessairement entre les prévisions théoriques et les résultats expérimentaux.

L'intelligence et la prouesse de la modélisation résidera dans ses possibilités de prévoir, cerner et expliquer certaines déviations entre théorie et expérience.

Le système que nous nous proposons d'étudier évolue dans un milieu conditionné par le soleil. Dans une première approche nous étudierons:

l'ensoleillement suivant ses deux principales manifestations: la radiation et l'irradiance; et par la suite nous étudierons les lois qui modélisent le comportement thermique du capteur intégré⁵

Ces analyses théoriques déboucheront sur une meilleure connaissance des paramètres qui gouvernent les évolutions du système étudié; enfin ces paramètres serviront de base au design d'un système optimum.

La modélisation est à mi-chemin entre les méthodes empiriques et les méthodes spéculatives; ses résultats n'ont de valeurs que s'ils sont confirmés par l'expérimentation faite sur le système modélisé.

Nomenclature Chapitre I:

B: coefficient d'extinction ou d'atténuation solaire

A: valeur apparente de l'intensité solaire extra-terrestre $\equiv I_0 = \text{fonction } N$

N: numéro du jour d'expérience 1 à 366

I: flux solaire ou irradiance arrivant sur une plaque inclinée en W/m^2

H: flux solaire arrivant sur plaque horizontale en W/m^2

ϕ : latitude du lieu expérimental en degrés

δ : déclinaison terre par rapport aux axes des pôles $-23.5^\circ \leq \delta \leq 23.5^\circ$ sur un an.

ρ : reflectivité du milieu expérimental
neige 60 à 90%

sol nu 10 à 25%

gravier, prairie 15 à 30%

sable clair 25 à 40%

eau calme 5% en hiver et 18% en été.

Θ_z : angle zénithal du soleil en degrés d'angle

α : altitude du soleil en degré ou en heures

β : inclinaison du capteur par rapport au plan horizontal de référence.

P: pression absolue du site expérimental.

P_0 : pression atmosphérique normale

I_{DN} : flux solaire normal au niveau de la surface du sol en W/m^2

θ : angle d'incidence du soleil par rapport à la normale au collecteur

ΔH : altitude du lieu experimental par rapport au niveau moyen des mers.

H_{OT} : radiation totale reçue par une surface horizontale en dehors de la terre. W/m^2

I_{OT} : radiation totale reçue par une surface inclinée en dehors de la terre.

I_0 : valeur du rayonnement solaire arrivant sur un site en dehors de la terre.

ws : sunset-sunrise du soleil: durée d'ensoleillement du site experimental en heures ou en degré d'angle.

k_I : indice de clarté

\bar{H}_{TB} : moyenne des valeurs journalières durant un mois du rayonnement direct arrivant sur une surface horizontale (MJ/m^2)

\bar{I}_{TB} : idem à \bar{H}_{TB} mais sur surface inclinée

\bar{R}_S : facteur d'amplification du rayonnement

\bar{H}_T : valeur rayonnement mesurée au solarimètre

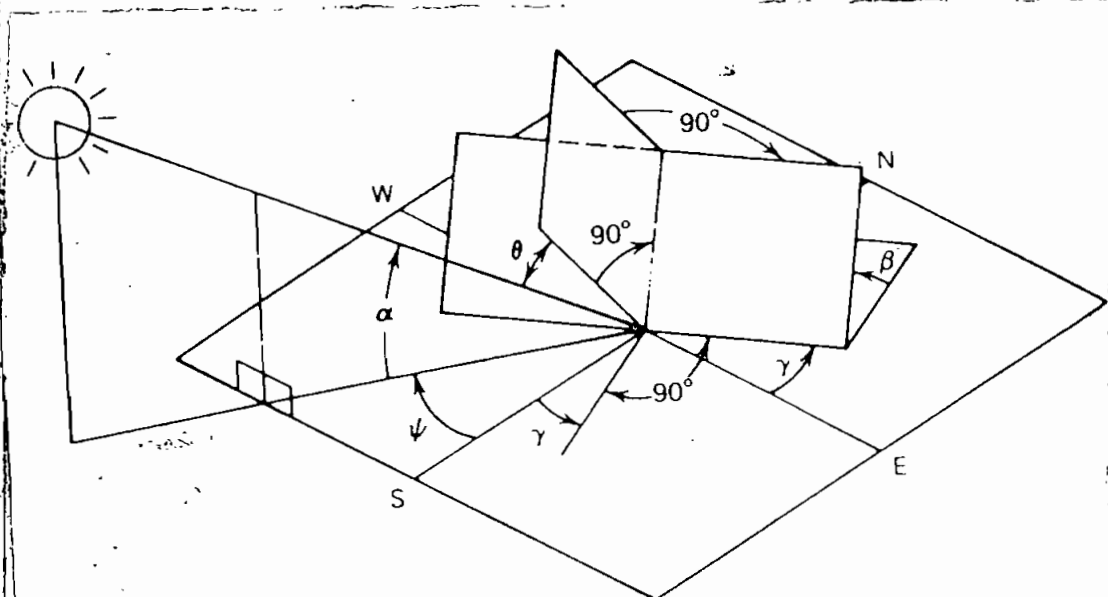
H_T : rayonnement solaire mesuré disponible sur une surface horizontale.

B- ETUDE ET OPTIMISATION DU CAPTEUR

Chapitre I: les Modèles d'Ensoleillement

Ⓐ Calcul des Irradiances (W/m²)

Nous allons tenter de déterminer dans ce sous chapitre quelles sont les variables qui gouvernent la puissance solaire arrivant sur une plaque; d'abord horizontale et ensuite inclinée d'un angle β .



$$\text{on a } I_0 = I_{Sc} \left[1 + 0.023 \cos \frac{360N}{370} \right]$$

9

Ceci est l'expression de la puissance solaire reçue en dehors de la Terre par le ciel pour un jour N de l'an. À ce moment la déclinaison de l'axe des pôles de la Terre par rapport au Soleil sera de

$$\delta = 23.45^\circ \sin \left[\left(\frac{N-80}{370} \right) \times 360 \right]$$

Le flux solaire normal I_{DN} est le flux qui est normal à un point de la surface de la Terre

$$I_{DN} = A \exp \left(-\frac{P}{P_0} \times \frac{B}{\cos \theta} \right)$$

le flux direct arrivant sur le sol est I_{Dir}

$$I_{Dir} = I_{DN} \cos \theta$$

Le rayonnement diffus résultant de la diffusion par l'air, les aerosols, les vapeurs condensées, les nuages... etc; ce rayonnement provient de la voûte céleste

$$I_{Diffus} = I_{DN} \left[C + \left(\frac{1 + \cos \beta}{2} \right) + P(C + \sin \alpha) \left(\frac{1 - \cos \beta}{2} \right) \right]$$

$$H_{Dir} = I_{DN} \cdot \sin \alpha$$

$$H_{Diff} = I_{DN} \times C$$

$$H_{Global} = \sum H_i = I_{DN} (C + \sin \alpha)$$

$$H_{GI} = A \exp \left(-\frac{B}{\cos \theta} \cdot \exp(-0.18410^3 \times \Delta H) \right) \quad (1)$$

¹⁰
L'équation montre que le rayonnement en W/m^2 ou irradiance sur une plaque horizontale I_{GH} est fonction de quatre paramètres qui sont :

A : valeur apparente de l'intensité solaire

α : l'altitude du Soleil

B : coefficient d'extinction solaire

ΔH : L'altitude du lieu expérimental

De la même manière on peut déterminer l'irradiance arrivant sur une plaque inclinée d'un angle β

$$I_{GI} = I_{DIR} + I_{DIFF}$$

$$= A \exp \left[-\frac{B}{\sin \alpha} \exp (-1.1810^4 \times \Delta H) \right] \left[\cos \theta + c \left(\frac{1 + \cos \beta}{2} \right) + p \left(c + \sin \alpha \left(\frac{c - \cos \beta}{2} \right) \right) \right] \quad (2)$$

l'intensité solaire ou irradiance arrivant une plaque inclinée dépend de sept variables qui sont

A : valeur apparente de l'intensité solaire

α : L'altitude du soleil en degrés

B : coefficient d'extinction solaire

ΔH : l'altitude du point expérimental

β : inclinaison de la surface réceptrice

p : valeur dépendant du sol 15 à 30 %

θ : angle incidence soleil plr normale collecteur

c : coefficient compris ds [0; 0.1]

B) Calcul des Radiations (J/m^2):

La procédure pour déterminer les radiations est un peu différente que celle qui est utilisée pour les irradiances. L'utilisation des données mensuelles sur une surface plane requiert l'estimation du rayonnement correspondant sur une surface inclinée: ceci est un procédé assez délicat à cause de l'importance du rayonnement diffus et direct; la nouvelle procédure nécessite le calcul de la proportion du rayonnement en dehors de la terre (radiation disponible tous les jours); ensuite de cette dernière on tire une corrélation empirique permettant d'estimer le rayonnement journalier total en dehors de la terre.

1- Radiations sur les Surfaces

Horizontales:

$$I_{\text{extra}} = I_0 \cos \theta$$

$$H_0 = I_0 [\cos \phi + \cos \delta \cos \omega + \sin \phi \sin \delta]$$

$$H_{0T} = \int_{\text{jour}} H_0 d\chi$$

$$(3) H_{0T} = \frac{I_0 \text{ daily sum}}{\pi} \left[\cos \phi \cos \delta \sin \omega + \frac{2\pi w_s}{360} \sin \phi \sin \delta \right]$$

$$I_{0, \text{S}} = 24 \times I_0 = 24 \times 0.036 I_0$$

0.036: facteur conversion de l'équation

L'équation (3) nous montre que l'énergie arrivant sur une plaque horizontale en J/m^2 est fonction de:

N : le jour expérimental

ϕ : la latitude du point considéré.

δ : la déclinaison de la Terre

w_s : la durée d'ensoleillement du jour

2 - Radiations sur une Surface

Inclinées

De même on obtient

$$(6) \quad \bar{I}_{OT} = \frac{I_{00 \cdot S}}{\pi} \left[\cos(\phi - \beta) \cos \delta \cdot \sin w_s + \frac{2\pi w_s}{360} \sin(\phi - \beta) \sin \delta \right]$$

Donc la radiation moyenne totale reçue par une surface inclinée de β est une fonction gouvernée par les variables suivantes:

N : le jour expérimental

ϕ : la latitude du point expérimental

β : l'inclinaison du capteur

δ : la déclinaison de la Terre

w_s : la durée de l'ensoleillement

Par géométrie on peut écrire

$$\cos w_s = -\tan \phi \tan \delta; \text{ pour un capteur incliné}$$

$$\cos w'_s = -\tan(\phi - \beta) \tan \delta$$

On trouve les tables solaires listant les valeurs journalières moyennes du rayonnement solaire (cf feuilles en Annexe). Ces tables sont nécessaires pour estimer le rapport du rayonnement journalier direct sur une surface inclinée par rapport à celui sur une surface horizontale : ce rapport est dénommé facteur d'amplification du rayonnement.

$$(7) \quad \bar{R}_b = \frac{\bar{I}_{OT}}{\bar{H}_{OT}} \approx \frac{\bar{I}_{TB}}{\bar{H}_{TB}}$$

Etant donné que beaucoup de tables de rayonnement sont globales, il est nécessaire, avant de déterminer la radiation sur une surface inclinée, de connaître la proportion du diffus dans le rayonnement total. Objectivement on peut dire que plus le ciel est nuageux autant est considérable le rayonnement diffus (ref n°[1]).

Les Etudes de Lui & Jordan (ref [3]) et celles de Page (ref [2]) ont démontré que les proportions du diffus sur une surface sont une fonction d'un facteur de clarté K_T et du rayonnement arrivant sur le site

$$(8) \quad K_T = \frac{\bar{H}_T}{\bar{H}_{OT}} \approx \frac{\text{Valeur lue avec Solarimètre}}{\text{valeur théorique du rayonnement}}$$

Les Etudes de Page fondees sur des mesures de 10 stations meteorologiques aux U.S.A ont permis de trouver une fonction de correlation, ce qui est en accord avec les travaux de Ohoudury (reference [8]), Stanhil (reference [4]) et Norris (reference [7])

$$(g) \frac{\bar{H}_{Td}}{H_T} = 1.00 - 1.13\bar{K}_T$$

✓ $\Rightarrow 15$

Dui & Jordan ont trouve la correlation suivante

$$\frac{\bar{H}_{Td}}{H_T} = 1.390 - 4.027\bar{K}_T + 5.23\bar{K}_T^2 - 3.108\bar{K}_T^3$$

On voit que pour les Etats unis les travaux de Page sont les plus consistants donc ils possedent une plus grande audience intellectuelle.

Etant donnees les differences parametriques sur les variables solaires assez importantes, les etudes faites aux U.S.A sur ce coefficient ne pourraient servir de base d'analyse, donc il a fallu dans ma demarche d'optimisation de rechercher les coefficients de correlation a partir de donnees rendues disponibles par 7 stations meteorologiques au Senegal (Bamboy; Dakar; Podor; Tamba; Louga; Ziguinchor; Kedougou)

La correlation que j'ai deduite de l'analyse de ces résultats des stations précitées est la suivante

$$\frac{\bar{H}_{Td}}{\bar{H}_T} = 1.00 - 4.65 \cdot 10^{-2} K_T$$

Etant donné que la radiation diffuse est généralement considérée comme isentropique, sa valeur sur une surface inclinée est une proportion fixe de celle diffuse sur une surface horizontale

$$I_{DIF} = H_{DIF} \times \left(\frac{1 + \cos \beta}{2} \right) + f(H_{Direct} + H_{DIF}) \times \left(\frac{1 - \cos \beta}{2} \right)$$

$$(II) \quad \frac{\bar{I}_{TD}}{\bar{H}_T} = \left(\frac{\bar{H}_{Td}}{\bar{H}_T} \right) \left(\frac{1 + \cos \beta}{2} \right) + f \left(\frac{1 - \cos \beta}{2} \right)$$

on obtient ainsi

$$(12) \quad \frac{\bar{I}_{TD}}{\bar{H}_T} = R_b \cdot \left(\frac{\bar{H}_{TB}}{\bar{H}_T} \right)$$

en combinant (II) et (12) on obtient

$$\bar{I}_T = R_b \cdot \bar{H}_T$$

cette relation est fondamentale car elle montre que si la radiation \bar{H}_T est connue par les tables on peut aisement calculer I_T , mais avant cela déterminons la valeur de R_b .

les Valeurs de \bar{R}_b ou facteur d'augmentation du rayonnement peuvent être approximées si on a des tables d'ensoleillement. Cependant les équations de corrélation tenant compte du facteur de clarté donnent des valeurs plus précises de \bar{R}_b . Ses travaux comme ceux de Klein (ref [2]) ont déterminé une procédure pour estimer la valeur de \bar{R}_b pour une inclinaison $0 < \beta < 90^\circ$

$$\begin{aligned} \bar{R}_b = & \left\{ \left[\cos \beta \sin \delta \sin \phi \right] (\pi/180) [\hat{\omega}_{ss} - \hat{\omega}_{sr}] - \right. \\ & \left[\sin \delta \cos \phi \sin \beta \cos \delta \right] (\pi/180) [\hat{\omega}_{ss} - \hat{\omega}_{sr}] \\ & + \left[\cos \delta \cos \phi \sin \phi \sin \beta \right] [\sin \hat{\omega}_{ss} - \sin \hat{\omega}_{sr}] \\ & \left. + \left[\cos \delta \sin \beta \sin \phi \right] [\cos \hat{\omega}_{ss} - \cos \hat{\omega}_{sr}] \right\} / \\ & \left\{ 2 [\cos \phi \cos \delta \sin \omega_s + (\pi/180) \omega_s \sin \phi \sin \delta] \right\} \end{aligned}$$

$$\text{si } \delta < 0 \quad \hat{\omega}_{sr} = - \min \{ \omega_s, \arccos [AB + \sqrt{A^2 - B^2 + 1} / (A^2 + 1)] \}$$

$$\text{si } \delta > 0 \quad \hat{\omega}_{ss} = \min \{ \omega_s, \arccos [AB + \sqrt{A^2 - B^2 + 1} / (A^2 + 1)] \}$$

ou

$$A = \cos \phi / (\sin \delta \tan \beta) + \sin \phi / (\tan \delta)$$

$$B = \tan \delta [\cos \phi / \tan \delta - \sin \phi / (\sin \delta \tan \beta)]$$

$$\text{et } \omega_s = - \tan \phi \tan \delta.$$

Le coefficient R_b comme le montre l'équation de Klein est assez complexe; mais les travaux que j'ai fait et que j'expose dans le chapitre de l'optimisation de l'inclinaison d'un capteur solaire montrent quels sont les paramètres qui influent sur R_b et d'une manière plus simple qu'a fait Klein (ref [3])

© OPTIMISATION DE L'INCLINAISON SON β DU CAPTEUR:

L'inclinaison d'un capteur solaire a suscité un très long débat beaucoup d'angles ont été avancés sans avoir été théoriquement ni empiriquement prouvé qu'ils étaient les angles optimum. Ici ma démarche consistera à me fier à l'analyse mathématique du modèle d'ensoleillement et en tirer les fonctions qui entre autres ont β pour paramètre; il s'agira ensuite de dériver cette fonction en fonction de β , les autres paramètres étant invariables, et après de s'assurer que la dérivée seconde s'annule pour conclure qu'on est à un optimum en β .

L'équation (6) du flux solaire arrivant sur une surface inclinée sera la fonction à étudier

$$\bar{I}_{OT} = \frac{I_{0,s}}{\pi} \left[\cos(\phi - \beta) \cos \delta \sin \omega s + \frac{2\pi \omega s}{360} \sin(\phi - \beta) \sin \delta \right]$$

on constate avec (6) que l'énergie reçue par un mètre carré de capteur est fonction

N : le jour expérimental 1 à 366

ϕ : l'altitude du lieu expérimental

β : inclinaison du capteur

δ : déclinaison de la Terre

ωs : de la durée d'ensoleillement.

Ainsi en dérivant (6) par rapport à β et en s'assurant que la dérivée seconde s'annule on trouve l'équation fondamentale de l'angle optimum d'un capteur solaire

$$\tan \beta = \frac{\cos \delta \sin \omega s \cos \phi + \frac{2\pi \omega s}{360} \sin \delta \sin \phi}{\cos \delta \sin \omega s \sin \phi + \frac{2\pi \omega s}{360} \sin \delta \cos \phi}$$

Ceci montre que l'angle optimum est fonction de

δ : la déclinaison de la Terre

N : jour expérimental

ϕ : l'altitude du point expérimental

ωs : la durée d'ensoleillement.

Cette équation montre la complexité de l'orientation β d'un capteur solaire : on y perçoit l'intérêt d'avoir un suiveur solaire, qui aura à faire une sorte de poursuite du Soleil durant le jour. Le but du projet étant de réaliser un capteur le plus simple possible à fin de vulgariser la technologie de ce capteur dans toutes les sphères du pays. On pourrait penser à concevoir un système de poursuite du soleil complexe durant le jour ; penser même à contrôler la stratification par des éléments électroniques mais tel n'est pas l'orientation recherchée dans notre conception.

Vue la complexité du traitement des variables entrant dans le capteur nous avons écrit un programme d'ordinateur qui nous permette d'obtenir pour tous les jours de l'année, la valeur de l'inclinaison optimale. Ce programme nous donne en même temps pour un jour donné N , et une latitude ϕ , la déclinaison δ de la Terre, et l'inclinaison β optimale du capteur solaire.
(Voir Annexe)

Avec l'obtention de l'angle optimum β par ordinateur on se rend compte que l'on peut maintenant établir les tables de rayonnement pour n'importe quel site. Ce travail est possible

grâce à l'équation (5) donnant la radiation totale reçue par une surface horizontale en W/m^2 en dehors de la Terre.

On avait (5)

$$\bar{H}_{OT} = 24 \times 10.036 I_0 \left[\cos \phi \cos \delta \sin \omega_s + \frac{2\pi \omega_s}{360} \sin \phi \sin \delta \right]$$

$$\text{avec } \omega_s = A \cos [-\tan \phi \cdot \tan \delta]$$

les équations (7) et (10) nous donnent

$$\bar{R}_b = \frac{\bar{I}_{OT}}{\bar{H}_{OT}} = 2.0 - 4.65 \bar{I}^2 K_T$$

(6) + (5) permettent d'écrire

$$(II) \quad \bar{R}_b = \frac{\left[\cos(\phi - \beta) \cos \delta \sin \omega_s + \frac{2\pi \omega_s}{360} \sin(\phi - \beta) \sin \delta \right]}{\left[\cos \phi \cos \delta \sin \omega_s + \frac{2\pi \omega_s}{360} \sin \phi \sin \delta \right]}$$

L'équation (II) que nous avons développée est plus simple que la formule de Klein. Elle nous montre que le coefficient \bar{R}_b qui nous permet de calculer l'énergie reçue par un capteur incliné de β à partir des tables classiques d'ensoleillement est une fonction multivariante \bar{R}_b dépend de

ϕ : l'latitude du lieu expérimental

β : inclinaison du capteur solaire

ω_s : durée d'ensoleillement

δ : déclinaison de la Terre.

En connaissant R_b on obtient aisement le facteur de clarté du site experimental \bar{I}_T ; donc la radiation moyenne globale arrivant sur une surface plane horizontale est

$$(12) \quad \bar{H}_T = \frac{23.0 - I_{0.S} \left[\cos \phi \cos \delta \sin \omega_s + \frac{2\pi \omega_s \sin \phi}{360} \sin \delta \right]}{1.096 \times 10^{-2}}$$

$$\text{avec } I_{0.S} = 24 \times 0.036 I_0 \\ = I_{SC} \left[1 + 0.033 \cos \frac{360N}{370} \right] \times 24 \times 0.036$$

L'intérêt de la formule (12) est très important, car elle permet de trouver la valeur de la radiation solaire en MJ/m^2 sur toute l'étendue du Sénégal; car il ne faut pas perdre de vue que l'équation de corrélation (10) était faite à partir de 7 stations météorologiques du pays. Pour appliquer l'étude dans d'autres pays il s'agirait de revoir la corrélation au point (10)

$$\bar{H}_T = \frac{23.0 - 1.4345 \left[1 + 0.033 \cos \frac{360N}{370} \right] [A_1 + B_1]}{1.096 \times 10^{-2}}$$

$$\text{ou } A_1 = \cos \phi \cos \delta \sin \omega_s$$

$$B_1 = \frac{2\pi \omega_s}{360} \sin \phi \cdot \sin \delta$$

\bar{H}_T est obtenue en MJ/m^2

Le but des démonstrations précédentes était de pouvoir déterminer la radiation totale arrivant sur une surface inclinée d'un angle β par la formule $\bar{I}_T = \bar{R}_S \cdot \bar{H}_T$

On constate que connaissant \bar{R}_S (équation (11)) et \bar{H}_T (équation n° 12) l'on puisse calculer aisément \bar{I}_T en MJ/m^2 de capteur.

CHAPITRE II: ETUDES DES BESOINS

Ⓐ Calcul de l'installation d'eau chaude

Sanitaire:

Après avoir déterminé les modèles mathématiques qui définissent les apports énergétiques sur le capteur intégré, il est maintenant nécessaire de concevoir l'installation sanitaire partant des paramètres optimum que nous avons découvert.

Ⓑ Evaluation des Besoins:

Une installation d'eau chaude sanitaire est caractérisée par:

- Sa consommation volumique c en m^3/j
- Sa température de distribution T_d
- Sa température d'admission d'eau T_f

L'équation du Besoin énergétique en fonction de ces paramètres est

$$(15) \quad B_j = 4.176 \times 10^3 \times c \times (T_d - T_f) \quad \text{en MJ}$$

La consommation volumique c en m^3/j et par personne dépend des besoins en eau et du niveau de confort des utilisateurs de l'eau chaude sanitaire

<u>Confort</u>	<u>Minimum</u>	<u>Moyen</u>	<u>Maximum</u>
C en l/j/personne	30	50	76

Les valeurs de C en l/j sont à peu près une moyenne annuelle, on pourra noter les fluctuations de 20% à -25% en fonction des périodes de l'année. On constate par exemple qu'en période froide ces valeurs varient plus qu'en période chaude. Dans notre étude nous allons considérer une famille de 7 personnes pour un niveau de confort moyen.

Ainsi les consommations d'eau chaude sanitaires varient en fonction de :

- la nature de l'utilisation
- le mode de vie des utilisateurs
- le moment du jour, et de l'année.

La notion de température de bain est très importante, car c'est elle qui crée le confort dans les conditions thermiques et métaboliques stationnaires. Il faut que dans ces conditions qu'à l'homéothermie des régions centrales du corps corresponde l'homéothermie des régions superficielles de l'organisme.

Des études assez récentes ont montré que pour atteindre une telle situation la température de

l'organisme doit atteindre 34°C . Si l'on tient compte de l'évaporation de l'eau au contact de la peau ou de son refroidissement au contact de l'ambiance on peut fixer notre température d'utilisation à 39°C .

Si l'on admet une température de distribution de 26°C , en moyenne pour satisfaire nos besoins (famille 7 personnes) en eau chaude sanitaire il nous faut disposer de B_j en énergie

$$B_j = 4.16 \times 10^3 \times c (40 - 26)$$

$$B_j = 2.912 \text{ MJ}$$

c'est la quantité d'énergie nécessaire pour assurer au moins un bain à chaque personne dans la famille précitée.

Donc si l'on veut un bain à toutes les 7 personnes de la famille il nous faut un apport en énergie de

$$B_j = 4.04 \text{ kWh.}$$

Arrivé à ce stade, de l'analyse de la demande en eau et en énergie, et connaissant les mécanismes d'échange de chaleur ou d'ensoleillement on détermine aisement nos aires de captation.

Cependant avant d'aborder le chapitre sur les mécanismes de transport et d'échange de chaleur dans le capteur intégré nous allons étudier la méthodologie de choix de matériau constituant le capteur solaire.

Nous allons ainsi voir qu'un choix de matériau repose sur trois grands critères:

- technologiques: résistance; durabilité; disponibilité.
- Critères économiques: finance; prix et qualité.
- Critères sociaux: risques de contamination; sécurité sanitaire; et autres.

CHAPITRE III: CHOIX DES MATERIAUX

① Definition des propriétés optiques d'un matériau:

Le matériau de captage de l'énergie solaire, doit posséder outre des propriétés physiques de résistance, des propriétés optiques. Il doit posséder un bon coefficient de transmission ϵ , une grande opacité aux longueurs d'ondes ϵ , une bonne stabilité thermique pour résister aux changements importants de température entre le jour et la nuit. Un matériau sélectif solaire rentable est aussi défini comme ayant une haute absorbance à par rapport à la plage du spectre solaire ($0.3 \text{ à } 2\mu\text{m}$), il doit aussi posséder une faible émissivité ϵ pour réduire le rayonnement thermique qui engendre les pertes calorifiques. La conception et le choix d'un tel matériau aux propriétés presque contradictoires est tout de même possible; grâce au non-chevauchement des longueurs d'ondes solaires et

thermiques. Pour les températures inférieures à 500°C, 98% des radiations thermiques se produisent au delà de la longueur d'ondes de 8μm.

(II) Absorbance α et l'emittance E :

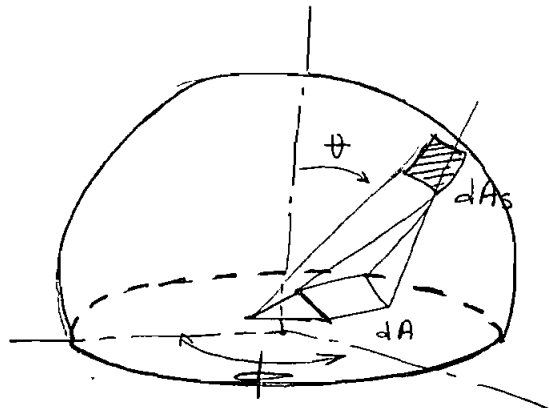
α : taux du rayonnement incident, qui du point de vue énergétique est absorbée par la surface de captation. On constate ainsi que ce coefficient dépend de la longueur d'ondes du rayonnement incident. Pour les fins de notre analyse nous allons étudier ces deux propriétés pour une longueur d'ondes donnée λ .

L'absorbance monochromatique est définie comme la fraction du rayonnement incident de longueur λ , de direction ν et ϕ

$$\alpha_\lambda = \frac{J_{\lambda, \nu}(\nu, \phi)}{J_{\lambda, i}(\nu, \phi)}$$

$$= \frac{\text{Énergie radiante absorbée (W/m}^2\text{)}}{\text{Énergie incidente à la surface.}}$$

L'absorbance directionnelle de l'aire A est obtenue en intégrant sur toute la surface



$$\alpha(N, \phi) = \frac{\int_0^\infty d\lambda(N, \phi) J_{\lambda,i}(N, \phi) d\lambda}{\int_0^\infty J_{\lambda,i}(N, \phi) d\lambda}$$

$$\alpha(N, \phi) = \frac{\int_0^\infty d\lambda(N, \phi) J_{\lambda,i}(N, \phi) d\lambda}{J_{\lambda,i}(N, \phi)}$$

L'absorbance monochromatique de la sphère est obtenue en intégrant sur toute la sphère i.e de $0 \text{ a } 2\pi$ et de $0 \text{ a } \pi$

$$(17) \quad \alpha_\lambda = \frac{\int_0^{2\pi} \int_0^1 d\lambda(N, \phi) J_{\lambda,i}(N, \phi) \nu d\nu d\phi}{\int_0^{2\pi} \int_0^1 J_{\lambda,i}(N, \phi) \nu d\nu d\phi}$$

L'équation (17) nous démontre que l'absorbance d'un matériau ne dépend en grande partie que de sa forme géométrique (facteur ν et ϕ) et de sa réfraction par rapport à l'irradiance; et enfin elle est une fonction de la longueur d'onde incidente.

L'équation (17) que pour un même matériau

la forme géométrique la plus absorbante est la sphère. Si le matériau de captation dont nous disposons pouvait être travaillé dans notre pays, l'on aurait conçu un capteur sphérique du point de vue du rayonnement transmis à l'eau au chauffage.

ϵ : l'émittance est la capacité d'un matériau à rayonner de l'énergie thermique; c'est le rapport entre la radiance d'une surface et celle d'un corps noir de même géométrie, à la longueur d'onde λ .

$$\epsilon_\lambda = \frac{J_\lambda}{J_{\lambda, \text{black}}}$$

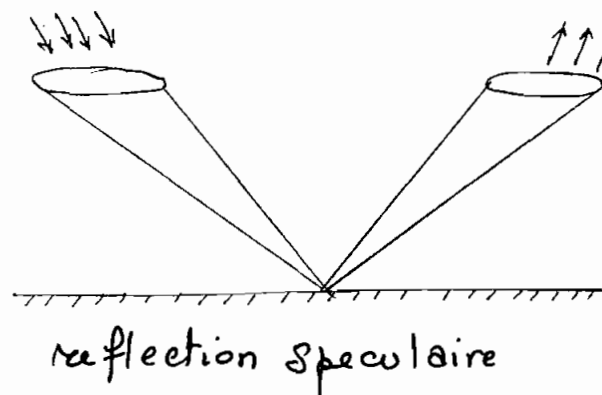
$$\epsilon_\lambda(N, \phi) = \frac{J_\lambda(N, \phi)}{J_{b, \lambda}(N, \phi)}$$

L'émittance totale est obtenue en intégrant sur toute l'aire géométrique.

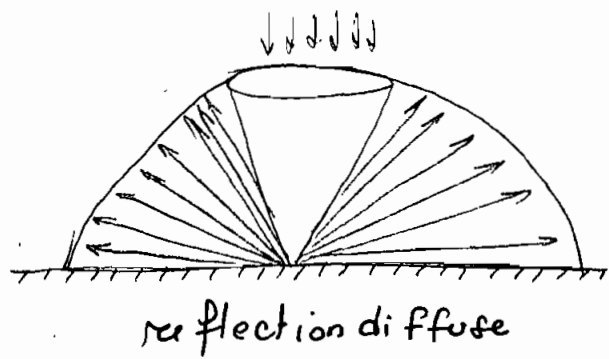
$$(18) \quad \epsilon_t = \frac{1}{J_b} \int_0^\infty \epsilon_\lambda(N, \phi) J_{b, \lambda} d\lambda$$

L'équation (18) nous montre, alors que l'émittance d'un matériau dépend de la longueur d'onde du rayonnement émis et de la géométrie du matériau.

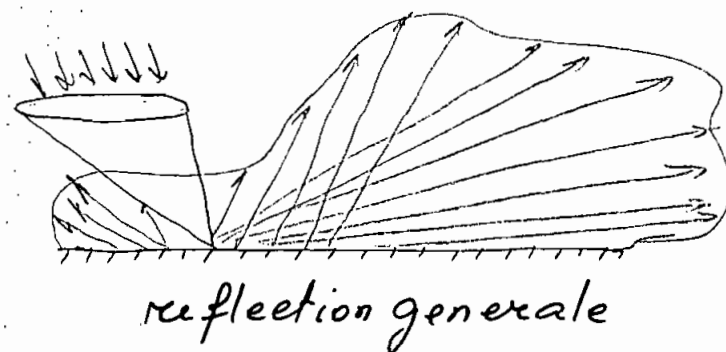
③ Reflectance P₂: on distingue 3 types de réflexion



réflexion speculaire



réflexion diffuse



réflexion générale

La reflectance ρ_s est fonction de la longueur d'onde, de la surface, et du revêtement superficiel de la surface, enfin de la longueur d'onde et du rayonnement incident à la surface.

(IV) La Transmittance τ :

C'est l'aptitude d'un matériaux à laisser passer l'énergie solaire qui lui est incidente

$$\tau_J = \frac{J_J(N, \phi)}{J_{J,i}(N, \phi)}$$

pour un corps transparent on a

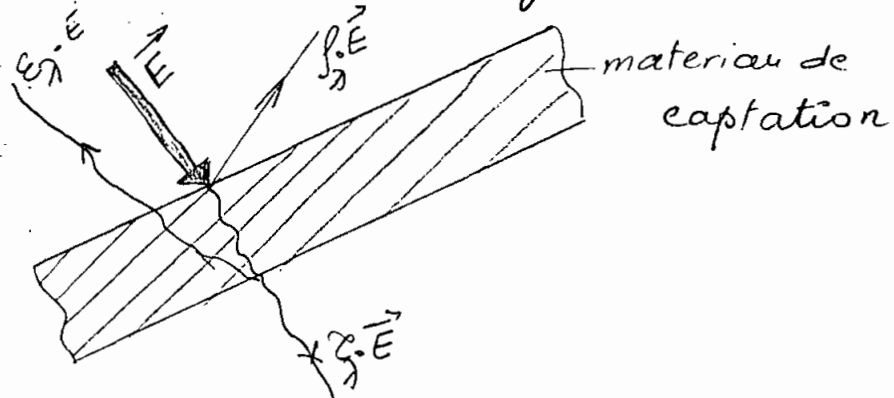
$$(20) \quad \tau_J + \alpha_J + \epsilon_J = 1$$

Quand le rayonnement solaire atteint une surface on a 3 phénomènes engendrés

$\tau_J \cdot E$: énergie transmise (J/m^2)

$\rho_J \cdot E$: énergie refléchie (J/m^2)

$\epsilon_J \cdot E$: énergie emise (J/m^2)



Ces propriétés physiques et optiques étudiées d'une manière théorique doivent selon le cas être des critères qui gouvernent notre choix de matériaux.

On ne pourrait pour un matériau donné avoir un choix où toutes les caractéristiques sont optimales; il faudrait dans tout choix arriver à une sorte de compromis entre plusieurs alternatives possibles.

Nous allons étudier séparément les divers constituants de notre capteur et dégager les propriétés optimales, qui dirigeront les choix que nous aurons à faire.

② Choix des Matériaux constituant le Capteur Intégré:

a- Le Vitrage: il doit posséder un grand coefficient de transmission et en même temps un faible coefficient d'absorption: ceci pour éviter son échauffement lors de son exposition au soleil; et enfin il doit posséder une faible réflexion

le rapport $\alpha/(d+f)$ est un bon coefficient de choix du vitrage du capteur

$$\alpha + d + f = 1$$

le facteur de qualité d'un vitrage est défini comme

$$F.Q = \frac{1}{d+f} - 1$$

$$F.Q \rightarrow 1 \text{ si } d+f \rightarrow 50\%$$

Ainsi on constate que pour posséder une bonne captation on est obligé de choisir un vitrage dont la somme de l'absorbance et de la reflectance est nettement supérieur à 0.5

Le matériau mis à notre disposition pour la réalisation du vitrage est du plexiglas $\alpha = 0.862$; $d = 0.915$ puis $f = 0.089$.

$$\text{Notre } F.Q = 86\%$$

On peut déterminer le F.Q d'un verre

$$F.Q = 85\%$$

Ainsi on peut remplacer le vitrage par du plexiglas dans notre modèle expérimental, car il ne faut pas oublier que même si les F.Q sont presque semblables, la

tenue aux rayonnements solaires ou stabilité thermico-chimique est différente: le plexiglas se dégrade sous l'effet de l'exposition continue au soleil.

Mais pour notre modèle expérimental de capteur il faudrait utiliser ce matériau car les périodes de test ne dépassant pas des jours. Mais dans les conclusions sur le modèle commercial du capteur intégré on ne devrait utiliser du plexiglas.

b- L'absorbeur:

Notre capteur intégré pour des impératifs économiques a son réservoir d'accumulation qui sert directement comme absorbeur. Ce réservoir est en acier inoxydable recouvert d'une mince couche de noir de carbone ceci pour améliorer ses capacités d'absorber le rayonnement transmis par le vitre par effet de serre.

Les propriétés essentielles sur lesquelles il faut insister c'est la capacité de ce réservoir de recevoir toute l'énergie

retransmise par le vitrage.

Les théories les plus récentes sur les revêtement superficiques [ref n°] montre que la peinture ou revêtement noir est plus apte pour recevoir donc accumuler l'énergie incidente.

c - les Isolants thermiques:

Par ce terme on sous-entend tous les matériaux qui de par leur caractéristiques physiques sont capables d'isoler thermiquement le constituant principal du capteur qui est l'absorbeur (c'est le réservoir d'accumulation). Le rôle essentiel des isolants sera alors de diminuer les pertes de chaleur entre le capteur et l'extérieur surtout durant la nuit où le soleil disparaît et pendant laquelle l'absorbeur a tendance à émettre un rayonnement thermique vers le ciel et l'environnement.

De ce fait les propriétés de conservation de la chaleur emmagasinée durant le jour par le capteur permettent de prendre une douche régulière, après la disparition du soleil.

Les isolants sont constitués du support global du capteur; des joints d'étanchéité; des supports d'absorbeur; des divers mode de fixation

Pour le support global du capteur ou cadre le choix optimum tenant compte des intempéries comme la pluie serait de l'acier galvanisé résistant aux contraintes thermiques mais aussi physiques (poids du réservoir et des isolants.)

Pour les besoins du modèle expérimental nous utilisons un cadre en bois.

Pour les joints nous utilisons du mastic. L'isolation du déga du réservoir sera de la laine de verre d'épaisseur 5mm.

Nomenclature chapitre IV

- Ap: surface collecteur en m^2
 As: surface de la structure portante m^2
 Cw: chaleur spécifique de l'eau $J/kg \cdot K$
 d: différence température diurne entre le collecteur et le fluide = $T_{abs} - T_w$
 D: durée du jour en secondes
 Fg: facteur de radiation au sol.
 F: Facteur de radiation du ciel.
 hr: coefficient radiatif de transfert $W/m^2 \cdot K$
 M: masse thermique équivalente = m en kg.
 du volume d'eau dans l'absorbeur
 N: durée de la nuit en secondes
 q_I: densité total du flux incident J/m^2
 S: flux solaire incident au site W/m^2
 So: valeur de pointe du flux solaire = $\frac{\Sigma q_I}{2D} W/m^2$
 t: temps écoulé depuis la lever du soleil
 Ta: temp. ambiante en $^{\circ}K$
 Te: temp. équivalente du ciel en $^{\circ}K$
 Tw: température de l'eau stockée ou de
 l'eau distribuée par le capteur solaire $^{\circ}K$
 T*: temp. d'équilibre du refroidissement
 Uc: coefficient convection $W/m^2 \cdot K$ du collecteur
 Us: coefficient convection du support en $W/m^2 \cdot K$
 d': absorbance du collecteur solaire
 Tabs: température de l'absorbeur en degré

Nomenclature Chapitre IV (Suite.)

θ : température relative diurne $\equiv T_w + d - T_a$ en degré °K

ϕ : température relative nocturne $\equiv T_w - b - T^*$

C : constante thermique du capteur

$$C = \frac{M_{ca}}{U A_p} \text{ en sec}$$

σ : coefficient de Stephan Boltzman $= 5.67 \cdot 10^{-8} \text{ W/m}^2 \cdot \text{K}^4$

ρ : densité de l'eau en kg/m³

γ : inclinaison du capteur

b : différence de température entre l'absorbeur (ici réservoir) et le fluide $b = T_w - T_{abs}$

T_{abs} : température du corps de l'absorbeur en °K.

m_1 : débit d'eau entrant dans le capteur à la température t_1

m_2 : débit d'utilisation du capteur ou eau sortant à la température T_w .



CHAPITRE IV: OPTIMISATION

THERMIQUE DU CAPTEUR SOLAIRE.

Le capteur intégré est régi par un type particulier d'échanges de chaleur; il est donc nécessaire, afin de pouvoir prévoir son comportement thermique, d'élaborer une approche théorique, qui simule et cerne l'ensemble des paramètres, qui gouvernent son comportement thermique.

Une telle démarche est certes très délicate, mais par une approche simplifiée du système nous allons essayer de déterminer deux types de modèles mathématiques qui simulent un fonctionnement probable du capteur durant le jour et la nuit. Les divers modèles sont basés sur un capteur statique

- a- le 1^e est sans échange de masse avec l'extérieur

- b- le 2^e est avec échange de masse avec l'extérieur

L'extérieur ici symbolise l'utilisation de l'eau chaude sanitaire.

(A) MODELE D'ECHANGE THERMIQUE

DURANT LE JOUR SANS ECHANGE

DE MASSE AVEC L'EXTERIEUR:

Il s'agit dans ce premier modèle d'appréhender les types de mécanismes d'échange de chaleur dans le capteur. Nous allons étudier le système soleil et capteur en y appliquant la loi thermodynamique d'échange de chaleur on peut écrire que

$$\text{Energie transmise par le collecteur} = \frac{\text{gain de l'eau}}{\text{d'absorbeur}} + \text{Pertes thermiques du capteur}$$

ou Vitrage

Traduisons cette égalité en expressions mathématique.

$$dAp.S = M_{Cw} \cdot \left(\frac{dT_w}{dt} \right) + UA_p T_w + Ap U_d - UA_p T_a$$

Le coefficient U peut-être assimilé deux grands écarts d'appréciation à

$$U_p + U_s A_s / A_p$$

L'énergie solaire reçue durant un jour de durée D en secondes peut être approximée par l'expression

$$S = S_0 \cdot \sin \frac{\pi t}{D}$$

avec S_0 : valeur pointe du rayonnement durant le jour

L'équation d'échange de chaleur précédente sera ramenée à une forme différentielle plus simple.

$$\text{soit } \theta = Tw + d - Ta \approx Tw - Ta$$

L'équation de transfert se réduit alors à l'équation différentielle suivante dont la variable d'intégration est le temps t ou temps durant lequel le soleil rayonne sur le capteur.

on voit que $t_{max} = D = \text{durée du jour}$

$$\infty_0 \frac{d\theta}{dt} + \theta = \frac{\alpha' S_0}{V} \sin \frac{\pi t}{D}$$

La résolution d'une telle équation différentielle nous donne $\theta = \text{fonction}(t)$ et ensuite de l'équation $\theta = Tw + d - Ta$ on tire la valeur de Tw (température de l'eau sortant du capteur solaire.) Les techniques de résolution nous donnent La solution:

$$Tw = \theta_0 e^{-t/\infty_0} + \frac{\alpha' S_0}{V \left[\left(\frac{\pi}{D} \right)^2 + 1 \right]} \left[\sin \frac{\pi t}{D} - \cos \frac{\pi t}{D} \right] + Ta - d$$

Équation (9)

Voir courbe 8 en Annexe: influence de V/A_p sur Tw d'après l'équation (9).

(B) MODELE D'ECHANGES THERMIQUES

DURANT LA NUIT SANS CHARGE:

Dans ce modèle le soleil disparaît et la seule source de chaleur disponible pour le système, cette fois constitué du capteur et de son environnement, est le réservoir jouant le rôle d'absorbeur.

Ce réservoir a une tendance à remettre l'énergie qu'il a accumulé durant le jour, à l'air qui l'entoure et ensuite au ciel.

Le bilan énergétique est le suivant

$$\text{Energie Accumulée de l'absorbeur} = \text{Perte convective de l'ambiance} + \text{Echange radiatif avec le ciel}$$

$$- M C_w \cdot \frac{dT_w}{dt} = \epsilon' A_p \sigma F_s [(T_w - b)^4 - T_e^4] + F_g [(T_w - b)^4 - T_e^4] + U_{co} [(T_w - b) - T_a]$$

$$\text{on a } T_w - b = T_{absorbeur} = T_{abs}$$

L'équation devient ainsi :

$$- M C_w \cdot \frac{dT_w}{dt} = \epsilon' A_p \sigma F_s [T_{abs}^4 - T_e^4] + F_g [T_{abs}^4 - T_e^4] + U_{co} [T_{abs} - T_a]$$

Ceci est une équation différentielle du 1^{er} degré, qu'il faut résoudre en intégrant par rapport à la variable t (tempo eus)

© REDUCTION DES SOLUTIONS PARAMETRIQUES
DES DEUX MODELES SANS CHARGE A DES
SOLUTIONS ALGEBRIQUES:

Pour pouvoir utiliser ces solutions de ces équations, afin de prévoir la température d'eau chaude T_w , il est nécessaire de les réduire à des expressions algébriques qui pourront être traitées analytiquement. Pour cela nous allons fixer un certain nombre d'hypothèses, qui sont basées sur des valeurs approximatives.

Valeurs des paramètres du capteur

$$M_{\text{eau}} = p \cdot V \approx 130 \text{ kg} \text{ car } V = 136 \text{ litres}$$

$$\Delta = 4 \cdot 32 \cdot 10^4 \text{ s} \text{ (12 heures de soleil)}$$

$$N = 4 \cdot 32 \cdot 10^4 \text{ s} \text{ (12 heures de disparition du soleil de 19}^{\text{h}}\text{ a } 8^{\text{h}}\text{ matin)}$$

Nous allons fixer la température moyenne de la nuit $T_{a,\infty} = 295^{\circ}\text{K}$ (22°C)

$U = 3 \text{ W/m}^2\text{ °C}$ coefficient général pertes du capteur solaire en entier

$U_{co} : 6 \text{ W/m}^2\text{ °C}$ coefficient général de transfert convectif de l'air emmagasiné dans le capteur.

$$C_w = 4180 \text{ kJ/kg eau } ^\circ\text{C}$$

$A_p = 2.4 \text{ m}^2$ (surface collecteur solaire)

$$M \cdot C_w = 0.5 \times 10^6 \text{ J/}^\circ\text{C}$$

$$V = 136 \text{ litres} = 0.13 \text{ m}^3$$

$$\Sigma = \frac{MC_w}{UA_p} = 1.33 \times 10^6 \text{ s}$$

$$T_{a, \text{m}} = \text{temp. moyenne diurne} = 303^\circ\text{K} (30^\circ\text{C})$$

$$T_{cap, \text{fin jour}} = T_{wf}$$

$$T_e = 293^\circ\text{K} (20^\circ\text{C})$$

$$d = 2 \text{ max } 10$$

$$T_a = 298^\circ\text{K} (25^\circ\text{C})$$

$$T_{abs} = 26^\circ (299^\circ\text{K})$$

$$\theta_0 \approx 15^\circ \text{ - } 20^\circ$$

Ces hypothèses de travail qui sont en fait des valeurs moyennes nous permettent de déduire l'équation du comportement moyen donc le plus probable du capteur solaire

Nous allons développer les 2 solutions des deux modèles théoriques
Le 1^{er} modèle diurne sans charge aura ainsi pour solution

$$T_w = \theta_0 e^{-t/1.33 \times 10^6} + 2.84 \times 10^{-5} \left[\sin \frac{7.310^5 t}{4.24 \times 10^4} - \cos \frac{7.310^5 t}{4.24 \times 10^4} \right] + T_a - d.$$

Equation (19')

L'équation est représentée graphiquement voir courbe n° 1 en Annexe.

Le deuxième modèle mathématique se écrit suivant les hypothèses précédentes

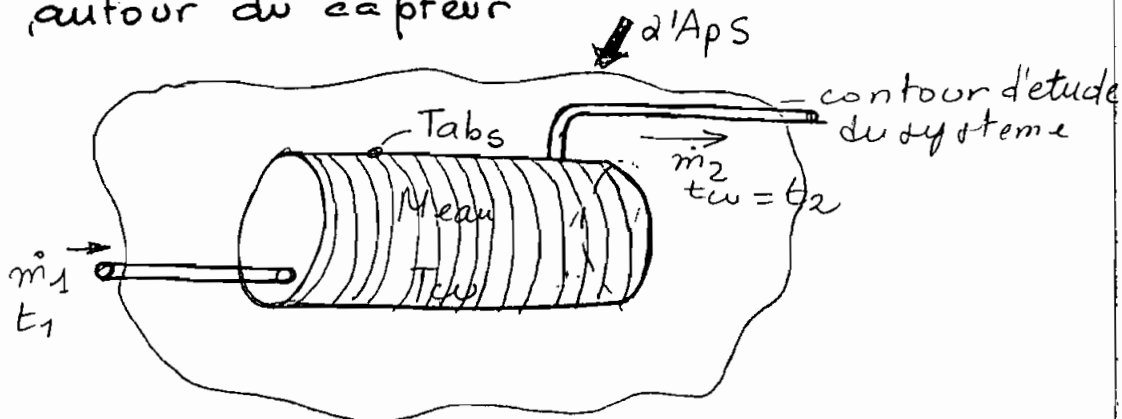
$$T_{w\beta} - T_{w\beta}^0 = 1.7710^3 C' F_5 [T_{ab}^4 - T_e^4] + 210^6 [T_{abs}^4 - T_a^4] \\ + 1210^6 [T_{ab}^4 - T_a^4]$$

Cette équation aussi qui décrit le refroidissement de l'eau chaude sanitaire durant la nuit est représentée sur la même courbe n° 1 de l'annexe

① Modèle d'Echanges Thermiques

durant le jour avec une charge

On refait toujours un bilan énergétique autour du capteur



$$\begin{aligned} \text{Energie reçue par système} &= \text{Energie sortant le système} \\ &\quad + \text{Accumulation dans le système} \\ &\quad + \text{Pertes hors système} \end{aligned}$$

Pour satisfaire la condition M constante
on devra faire de telle sorte que $\dot{m}_1 = \dot{m}_2$
ce qui veut dire que le débit d'utilisation
est égal au débit de remplissage du
capteur solaire intégré.

$$d'Aps = M C_w \cdot \frac{dT_w}{dt} + \dot{m} c_w (T_w - T_1) + U_A p (T_{abs} - T_a)$$

Ceci est l'équation qui régit les mécanismes d'échange de chaleur dans le capteur durant le jour avec un débit d'utilisation \dot{m}_1 égal au débit de remplissage \dot{m}_2 . $\dot{m} = \dot{m}_1 = \dot{m}_2$.

Reduisons l'équation suivante en termes algébriques pour mieux la résoudre

$$C \cdot \frac{d\theta}{dt} + A \cdot \theta + B = \frac{d'f_0}{U} \sin \pi t / 10$$

Les mêmes hypothèses sur S , U et θ sont toujours considérées.

on avait $C = 1.33 \cdot 10^6$

$$A = \frac{m C w}{U A_p} + 1 = 2.5 \cdot 10^{-2} \text{ avec } m = 20 / 10 \text{ mn.}$$

$$B = \frac{T_1 - T_a + d}{U A_p} = 1.212$$

$$\frac{d'}{U} = 2.7 \cdot 10^{-1}$$

L'équation réduite devient

$$1.33 \cdot 10^6 \frac{d\theta}{dt} + 2.5 \cdot 10^{-2} \theta + 1.212 = 62.6 \sin 7.3 \cdot 10^5 t$$

où t est donné en secondes

Pour résoudre cette équation nous allons utiliser une solution analytique: Méthode de Runge-Kutta (confire programme de résolution en annexe.)

Le traitement analytique nous permet de déduire θ et ensuite T_w directement. Les résultats obtenus sont:

Resultats Resolution de l'équation différentielle donnant T_w pour un debit d'utilisation m (l/s) (Méthode Range Kutta-Gill)

<u>t ch)</u>	<u>θ</u>	<u>T_w °C</u>
1	5	27
2	5	27.5
3	6	30.5
4	5	
5	5	43.5
6	4.6	43
7	4	44
8	5	42
9	4	40
10	5	39
11	4	37
12	5	37

ici $m = 1.21/\text{min}$

La courbe n° 2 et 2' traduisent l'équation du modèle san avec charge mais pour divers débits d'utilisation.

CHAPITRE V: CONCEPTION ET EXPERIMENTATION DU CAPTEUR INTEGRÉ

La conception du capteur s'est en partie réalisée dans tous les chapitres précédents; dans celui-là il s'agit de décider des formes définitives des constituants du modèle expérimental, ensuite il s'agira de tester ce modèle expérimental pour en tirer les dimensions, et les formes concrètes qu'on pourrait améliorer du point de vue de la pratique. Car il faut bien tester le modèle expérimental pour décider, à partir des performances obtenues, des dimensions et forme de ce que l'on pourrait dénommer le modèle fini ou "commercial". Dans l'analyse des résultats et les recommandations l'on reviendra sur cette question qui est au tout point de vue d'importance capitale.

Ⓐ DESCRIPTION DU MODELE

EXPERIMENTAL:

Les plans joints en annexe montrent les différents constitutants du capteur

Le support ① est un rectangle de 170x150x30

Les parois latérales ② sont deux triangles de base 140 et hauteur 70 épaisseur 15mm.

Les supports des réflecteurs ③ sont formés de deux cadres 150x99 cm

Ces supports seront recouverts d'un papier aluminium de même dimension servant à récupérer les rayons solaires "égarés" pour augmenter le rendement thermique du capteur solaire utilisé.

L'isolant en laine de verre servira à améliorer les performances du capteur durant la nuit qui le disque solaire disparaîtra.

Les tiges métalliques servant à mieux fixer le réservoir sur son support latéral. Le réservoir est récupéré d'un ancien chauffe-eau électrique c'est un cylindre dont les deux bouts sont en 1/4 sphère.

le réservoir fera l'objet d'un dimensionnement particulier dans le chapitre suivant. Il est recouvert d'une couche noire qui améliore son absorbance thermique et diminue son émissivité. Sa capacité volumique totale est de 136 litres.

Diamètre 213 mm

Surface totale $1,3 m^2$

Épaisseur 6 mm

coefficient transmission $54 W/m^2 \cdot ^\circ C$

matériau réservoir acier inoxydable de résistance mécanique 1000 MPa.

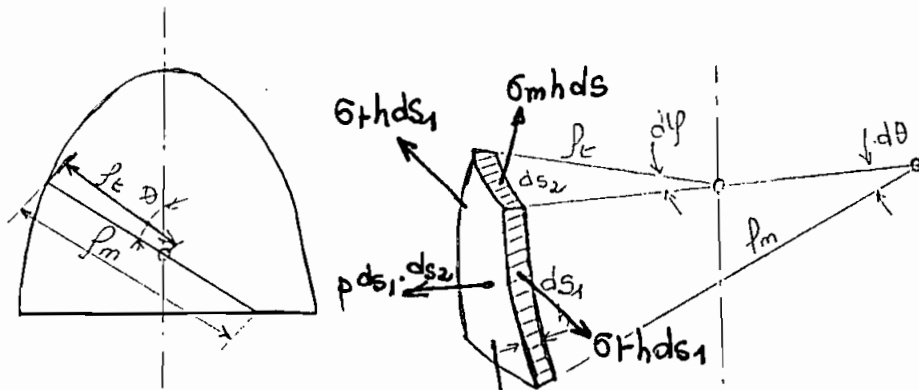
(B) DESIGN DU RESERVOIR OU
ABSORBEUR DU CAPTEUR.

le dimensionnement du réservoir du capteur relève d'un souci de fiabilité du système car ce réservoir doit répondre sans se déformer aux sollicitations due à la pression de distribution du réseau de la sonées. Ce réseau de distribution livre l'eau à peu près 2.5 bars; le réservoir doit être conçu de tel sorte que la distribution soit continue.

Le réservoir étant constitué de deux parties géométriques : deux $\frac{1}{4}$ de sphères accolées à une partie cylindrique. Ces éléments géométriques doivent être dimensionnés selon des théories différentes. Nous allons examiner les deux théories qui régissent le dimensionnement de ces parties du réservoir.

Le calcul des réservoirs se fait selon la théorie des plaques et enveloppes. Si l'on admet que les contraintes dans l'enveloppe sont distribuées d'une manière uniforme dans l'épaisseur de l'enveloppe, où il n'existe pas de flexion dans l'enveloppe, la théorie de l'enveloppe se réduit ainsi à la théorie de la membrane.

B1: Determination des Contraintes dans la partie cylindrique du reservoir.



h : epaisseur du reservoir

σ_m : contrainte meridienne

σ_t : contrainte tangentielle

r_c : rayon de courbure section normale à l'arc meridien

r_m : rayon de courbure de l'arc meridien.

p : pression dans le réseau de distribution

L'équilibre des forces sur la normale nous donne l'équation suivante:

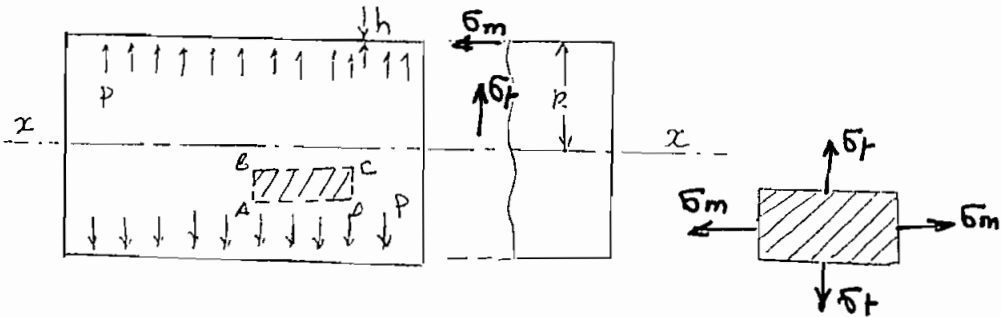
$$pds_1 \cdot ds_2 - \sigma_m h ds_2 d\theta - \sigma_t h ds_1 d\varphi = 0$$

du fait de la géométrie on a

$$d\theta = \frac{ds_1}{r_m} \quad \text{et} \quad d\varphi = \frac{ds_2}{r_c}$$

En définitive on obtient l'équation d'équilibre de Laplace

$$\frac{\sigma_m}{p_m} + \frac{\sigma_t}{p_t} = \frac{P}{h}$$



Etudions la section droite ABCD du cylindre

Nous allons supposer un état de contrainte bi-axial (σ_t ; σ_m)

Si une surface quelconque est sollicitée par une pression uniforme, ainsi quelque soit sa forme, la projection de la résultante des forces de pression sur un axe donné est égale au produit de la pression p par l'aire de la projection de la surface sur un plan perpendiculaire à l'axe donné

$$P_x = \int_F p \cos \varphi dF$$

L'équilibre de la rosette ABCD donne

$$\sigma_m 2\pi Rh = P$$

la composante axiale des des forces de pression est $P_x = p \pi R^2$

L'équation de Laplace donne ainsi

$$\sigma_m = \frac{\rho R}{2h}$$

pour un cylindre $\sigma_m = \infty$ et $\sigma_t = R$

$$\sigma_t = \frac{\rho \cdot R}{h} = 2\sigma_m.$$

On constate que la contrainte circonferentielle est le double de la contrainte méridienne.

La contrainte réelle résultante de ces deux contraintes est σ

$$\sigma = \sqrt{\sigma_t^2 + \sigma_m^2}$$

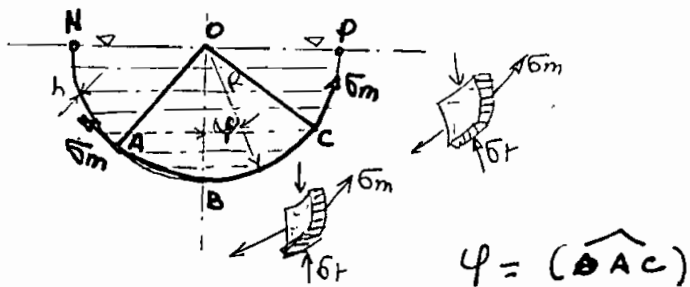
$$\sigma = \sqrt{(2\sigma_m)^2 + \sigma_m^2} = \sqrt{5\sigma_m^2}$$

$$\sigma = 2.24\sigma_m$$

Donc le réservoir cylindrique devrait résister à cette valeur de la contrainte sans se déformer.

Les formules précédentes montrent que la longueur du réservoir n'intervient pas dans la résistance mécanique, seuls R et h conditionnent les contraintes mécaniques.

B2: Determination des Contraintes
Dans les parties Sphériques
du Reservoir



P: résultante de la force de pression du liquide

γ : poids spécifique de l'eau en N/m^3

Considérons le segment découpé dans la sphère ABC, son volume a pour expression

$$V_{\text{segm}} = \int_0^\varphi \pi (R \sin \varphi)^2 R \sin \varphi d\varphi$$

$$V_{\text{seg}} = \pi R^3 \left(\frac{2}{3} - \cos \varphi + \frac{1}{3} \cos^3 \varphi \right)$$

le Volume total NABCP est

$$V_T = \frac{2}{3} \pi R^3 (1 - \cos^3 \varphi)$$

$$P = \gamma \cdot V_T$$

$$P = \frac{2}{3} \pi R^3 \gamma (1 - \cos^3 \varphi)$$

Donc

$$\overline{\sigma}_m = \frac{\gamma R^2}{3h} \frac{1 - \cos^2 \varphi}{\sin^2 \varphi}$$

Dans le cas de l'enveloppe sphérique on a

$$\sigma_m = \sigma_t = R$$

L'équation d'équilibre de Laplace donne avec $\rho = \gamma R \cos \varphi$

$$\sigma_t = \frac{\gamma R^2}{3h} \left[3\cos \varphi - \frac{1 - \cos^3 \varphi}{\sin^2 \varphi} \right]$$

On constate ici que σ_m et σ_t ne dépendent que de la géométrie du réservoir φ et du poids spécifique du liquide qu'il contient.

On pourrait rechercher une contrainte équivalente à l'état bi-axial de contrainte (σ_m, σ_t)

$$\sigma_{equi}^{max} = \frac{\gamma R^2}{3h} (1 + k)$$

33: Etude des diverses Contraintes:

Pour que le réservoir supporte sans faillir aux sollicitations il faut qu'il resiste dans ses parties respectives aux sollicitations σ_t et σ_{eq}^{max} .

soit $p = 2.5 \text{ a } 3 \text{ bars}$

Déterminons l'épaisseur h pouvant résister à la pression de 2.5 bars pour un rayon de réservoir $R = 187 \text{ mm}$.

L'équation de $\sigma_t = \frac{P.R}{h}$ donne

$$h = \frac{k.R}{\sigma_t} \quad \text{soit } \sigma_t = 500 \text{ MPa}$$

$$h = \frac{2.5 \times 10^5 \times 0.187}{1000 \times 10^6} = \frac{0.935}{2} \times 10^{-4} \text{ m}$$

$$h = \frac{0.935}{2} \text{ mm.} = 0.4675 \text{ mm}$$

Donc avec $h = 0.935 \text{ mm}$ le réservoir pourra résister aux contraintes développées dans la partie cylindrique. (C'est dans cette partie où les sollicitations sont les plus importantes)

Nous avons un réservoir de fortune dont

$h = 6 \text{ mm}$, donc il convient pour résister à 2.5 bars.

© Mesures Experimentales:

Schema de l'installation où le capteur solaire est intégré au réseau chauffe-eau électrique.

R_1, R_2, R_3, R_4 : robinet(s)

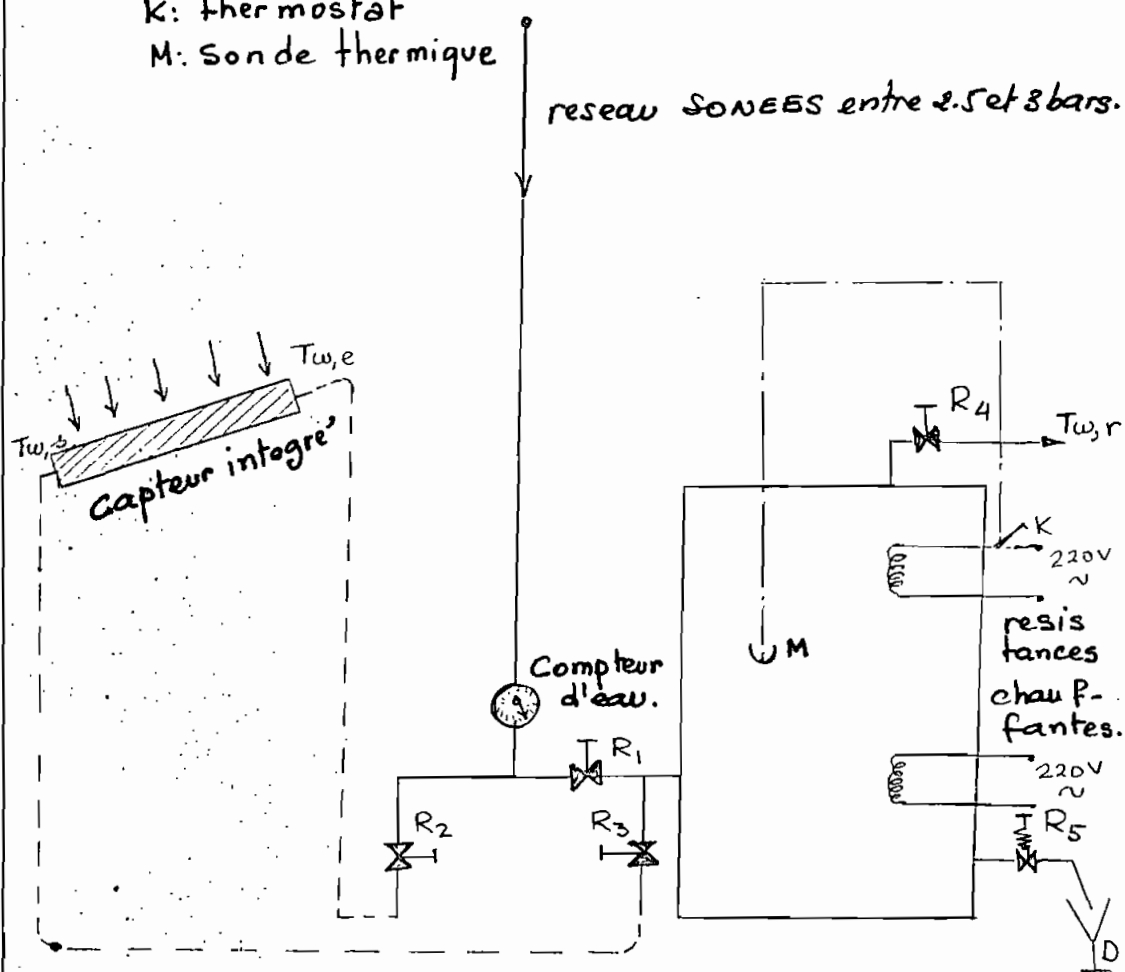
R_5 : soupape de sécurité tarée à 150 lb/po^2

D: drain collecteur du chauffe-eau sanitaire

K: thermostat

M: sonde thermique

réseau SONNEES entre 2.5 et 8 bars.



ci: Mesures d'ensoleillement:

Materiel itulisé: solarimetre Pana-Visa

Metermayer

Multimetre SIMPSON

Il s'agit ici de relever de 8^h à 20^h les valeurs en mV de la lecture délivrée par le solarimetre car $1mV = 105WATT/m^2$ ensuite l'on traduira les valeurs lues en puissance par m^2 de capteur. Le tableau n° 1 compile les valeurs obtenues.

L'approximation théorique de l'ensoleillement était donnée par la formule

$$S = S_0 \sin(\pi t/D)$$

S_0 : valeur maximale journalière de l'énergie solaire reçue en W/m^2

t : temps d'exposition ou durée en s entre l'heure de lever du soleil et l'heure expérimental.

D : durée d'un jour solaire moyen en s

$$D = 4.32 \cdot 10^4 s \text{ (soit } 12h\text{)}$$

La courbe n° 2 montre la comparaison entre les mesures théoriques et les lectures expérimentales. Les écarts notés seront expliqués dans la conclusion

c2: Mesures des températures du capteur:

On utilise ici des thermomètres pour mesurer la température de l'absorbeur; de l'eau à l'entrée du réservoir et de l'eau à la sortie du réservoir. La température de l'eau au milieu du réservoir peut être approximée par la moyenne entre l'entrée et la sortie car le phénomène de stratification intervient dans la distribution des températures dans le réservoir.

Le modèle mathématique où le capteur est sans charge a ses mesures dans le tableau 1. Les courbes de description de ces résultats ou courbe \rightarrow permettent de comparer les résultats expérimentaux et les prévisions que notre modèle sans charge avait donné.

Dans la conclusion nous reviendrons sur les explications entre prévision théorique et mesures expérimentales.

Le modèle avec charge possède ses mesures avec un débit aux heures indiquées dans le tableau n°2, et n°2'

Les courbes n°3 traduisent ces mesures sur le papier; on y représente en même temps les valeurs que la prévision théorique nous a permis d'établir dans l'étude du modèle avec charge: car il faut le rappeler il s'agit de prévoir le comportement de la température d'utilisation T_w aux diverses heures d'expérimentations.

Sur cette courbe on peut visualiser les écarts entre théorie et pratique, dans la conclusion nous aurons à revenir sur ces considérations

c3: Mesure de la consommation électrique
du chauffe eau électrique:

Nous disposons d'un chauffe eau électrique composé de deux modules de 4.5kW et d'une capacité de 72 g.u.s (273 l)

Pour mesurer sa consommation électrique on simule des charges d'utilisation d'une durée variable (10mn; 20mn; 5mn) et à l'aide d'une pince ampermétrique on mesure sa consommation en Amperes.

Ensuite on procèdera à l'opération suivante; I étant connu et $U=220V$

$$P = U \cdot I \quad \text{en WATT}$$

connaissant le temps de consommation de I ampères en heures on en déduit aisement la puissance consommée en kwh par la formule $U \cdot I \cdot T$ (en kwh)

Les thermostats du chauffe eau sont réglés à 115°F . Tout de même nous contrôlons la température de l'eau chauffée.

Le Tableau n°3 donne les valeurs expérimentales obtenues.

c4: Mesures de la température de distribution d'eau et de la consommation électrique du système chauffe-eau électrique combiné au chauffe-eau solaire:

Nous conservons le même système de la pince ampermétrique et de l'enregistreur ampermétrique pour calculer la puissance consommée en kWh.

Les tableau n° 4^{et} 4["] montrent les valeurs expérimentales obtenues dans un tel système combiné.

Dans la conclusion nous analysons les performances et les économies qu'un tel système combiné peut procurer à l'utilisateur d'un système intégré.

✓

Tableau 1.

Mesures Capteur Intégré.

Date: 22/05/1984

Observations: Capteur indépendant modèle sans charge. 45° inclinaison réflecteurs Journée claire et ensoleillée.

Heures	$I_h \text{ W/m}^2$	temp. Absorbeur °C	temp. Ambiante °C	temp. eau Entrée °C	temp. eau Sortie °C
8	0.0	26.0	26.5	26.0	27.0
9	105.0	40.0	27.0	28.0	39.0
10	682.5	39.0	29.0	30.0	41.0
11	850.5	57.5	31.0	35.0	43.0
12	966.0	68.0	32.0	40.0	58.0
13	1050.0	74.0	35.0	45.0	60.0
14	997.5	77.0	32.0	48.0	63.0
15	829.5	68.0	34.0	46.0	51.0
16	661.5	67.0	31.0	45.0	50.0
17	535.5	64.0	30.0	44.0	48.0
18	120.0	52	27.0	43.0	44.0
19	0	49.0	24.0	45.0	35.0
20	0	45.0	22.0	42.0	30.0

Tableau n°2

Projet Fin d'Etudes 83/84

Mesures Capteur intégré'

Date: 23/05/84

Observations: Journée diffuse sans soleil
le soir à 15h. Modèle avec débit 179/10mn à 12h et 15h

Heures	Ih w/m²	temp. °c Absorbeur	temp. °c Ambiante	temp. Eau Entrée	temp. Eau Sortie
8	0.0	37.0	25.0	33.0	39.0
9	30.0	44.0	28.0	33.0	38.0
10	630.0	48.0	28.0	37.0	42.0
11	800.0	52.0	30.0	40.0	42.0
12 *	850.0	52.0	31.0	30.0	57.0
13	790.0	62.0	30.0	43.0	54.0
14	20.0	59.0	29.0	39.0	47.0
15	0.0	57.0	29.0	38.0	43.0
16	0.0	52.0	28.0	35.0	42.0
17	0.0	50.0	27.0	34.0	43.0
18	0.0	48.0	26.0	34.0	43.0
19	0.0	45.0	25.0	32.0	46.0
20	0.0	44.0	25.0	30.0	45.0

✓

Projet Final d'Etudes 83/84
 Mesures Capteur Intégré
 Date : 24/05/84

Tableau 2'

Observations: Modèle avec charge à

5.6 l/min aux heures en *. Journée très diffuse

Hres	In W/m ²	temp °C Absorbeur	temp. °C Ambiante	temp. °C Eau Entrée	temp. °C Eau Sortie
8	0.0	36.0	24.0	32.0	38.0
9	0.0	36.5	26.0	33.0	38.0
10	0.0	37.0	27.0	36.0	38.0
(3.6 l/min)					
11 *	300.0	38.0	26.0	30.0	43.0
12	800.0	52.0	29.0	33.0	48.5
(8 l/min)					
13 *	0.0	48.0	30.0	33.0	43.0
14	0.0	48.0	29.0	34.0	42.0
15 *	0.0	48.0	28.0	34.0	41.0
16	0.0	48.0	27.0	35.0	40.0
17	0.0	49.0	27.0	35.0	40.0
18	0.0	49.0	26.0	36.0	38.0
19	0.0	47.0	25.0	35.0	37.0
20	0.0	45.0	25.0	35.0	37.0

**D COMPARAISON ENTRE LES MODELES
THEORIQUES ET LES MESURES
EXPERIMENTALES.**

D1: Le Modèle d'ensoleillement:

Les courbes n° 2^{et 2'} nous renseignent assez clairement sur les 2 évolutions entre la théorie prévisionnelle du comportement du flux solaire et les mesures faites au Solarimètre.

Le modèle théorique était basée sur l'approximation sinusoidale de l'irradiance S en W/m^2 $S = S_0 \sin \pi t / D$

t : temps écoulé entre l'heure d'expérimentation et l'heure de lever du soleil en s.

D : durée en s d'une journée solaire
 S_0 : valeur pointe de l'irradiance reçue durant la journée. Elle se situe entre 12h et 16h pour la journée du 22/5/84
 $S_0 = 1050 \text{ W/m}^2$ à 13h voir courbe n° 2)

En évaluant les divers écarts entre les valeurs théorique et expérimentale, on constate que l'on a des différences dont les valeurs maximum se situent entre 13h et 15h

L'écart maximum est de 11.5% ($a^{\circ} 13^h$)

Une telle différence s'explique par l'approximation sunusoïdale du rayonnement solaire arrivant sur le site durant une journée; car dans le modèle on a pris comme hypothèse une journée solaire de 12^h ce qui est une hypothèse vérifiée que durant les périodes de plein ensoleillement, généralement les journées solaires enregistrées ont une durée de 10 à 12^h .

La courbe n°2 donne une idée plus précise des valeurs absolues des écarts enregistrés. De tels écarts sont explicables et ils sont aussi inévitables, ce qu'il faut faire c'est de les conserver dans un rang ou marge raisonnable (10 à 12% en valeur relative.)

D2: Comparaison de Tw et des Mesures expérimentales:

D2a: Modèle sans charge:

Ce modèle mathématique qui nous a permis de calculer T_w , était une équation diffé-

rentielle du 1^{er} degré

$$\tau \cdot \frac{d\theta}{dt} + \theta = \frac{\alpha' S_0}{U} \sin \pi t / D$$

$$\text{ou } \tau = \frac{MC_w}{UAp} \quad \text{et } S = S_0 \sin \pi t / D$$

Le coefficient U ou coefficient général de transfert de chaleur du capteur intégré était estimé à $3 \text{ W/m}^2 \text{ °C}$; ceci a été une hypothèse de travail pour élaborer l'équation du modèle théorique.

Comme tout coefficient convectif il est fonction de la température ambiante; sa valeur peut même tripler pour une augmentation de température de 10°C .

Les écarts les plus importants (10%) enregistrés durant la période de 11 h à 16 h sont alors dus à la variation de U en fonction de la température ambiante.

Si nous faisons intervenir cette variation de U dans l'équation du modèle l'on pourrait réduire les écarts jusqu'à 2% .

A tout point de vue la déviation maximum de 10% enregistrée à 13 h est très acceptable et ceci encore une fois valide le modèle théorique utilisé dans l'analyse.

D2b: Modèle avec charge:

Le modèle de base de l'expérimentation des douches de la famille où le système est installé. Pour les journées durant lesquelles ce modèle avec charge est expérimenté on a tenté de simuler des bains à diverses heures 11^h; 12^h; 13^h; 14^h; 15^h pour des débits de 1.2l/min à 8l/min durant 10mn.

Les résultats obtenus du comportement thermique du capteur sont représentés par les courbes 2 et 2'. Les deux journées d'expérimentation ont des moyennes journalières respectives de 260W/m² et 92W/m², ces journées sont pratiquement "sans soleil" car de telles moyennes sont nettement inférieures à celles enregistrées dans des périodes aussi pires que le mois de décembre. Les courbes 2 et 2' nous donnent une idée de la comparaison que l'on peut faire de la théorie et de l'expérience. La courbe théorique 2' est une courbe qui enveloppe entièrement la courbe pratique, avec un écart maximum de 7.79% enregistrée à 9^h. Ceci est dû au fait que le soleil n'est apparu qu'à 10^h et disparu à 12^h (Voir tableau 2').

La courbe n°2 montre un écart maximum de 11.2% enregistré à 9^h. La cause est semblable car la courbe 2, représente l'évolution thermique du capteur

durant un jour où la moyenne d'ensoleillement est très médiocre 260 W/m^2 (inférieure à la moyenne de décembre.)

Les conclusions que l'on peut tirer de l'expérimentation durant ces journées aux ensoleilements médiocres sont :

— Une possibilité d'extrapolation des performances thermiques du capteur dans les mois médiocres comme décembre

— La capacité d'accumulation thermique excellente de l'absorbeur : car malgré l'ensoleillement très médiocre dû à l'importance du rayonnement diffus, nous avons des températures très performantes (courbe 2, 2', 3)

(E) ETUDE DES PERFORMANCES ECONOMIQUES DU SYSTEME COMBINE' CHAUFFE EAU ELECTRIQUE & CHAUFFE EAU SOLAIRE:

Le but de cette étude n'est pas de supplanter l'énergie électrique par l'énergie solaire, mais plutôt d'alléger la consommation d'énergie électrique de certains appareils domestiques: comme le chauffe eau électrique, les climatiseurs, etc... On pourrait penser à substituer totalement l'énergie électrique par l'énergie solaire mais le coût d'une telle installation serait prohibitif et ce coût ne justifierait pas un tel choix: car économiquement une telle installation ne serait pas rentable pour l'état actuel des recherches dans le domaine des matériaux sélectifs et des cellules photovoltaïques.

Nous allons étudier dans ce chapitre les économies d'énergie que l'on peut réaliser en intégrant un chauffe-eau solaire à un réseau déjà existant de chauffe-eau électrique.

Nos valeurs de comparaison seront les mesures faites et compilées au tableau n°3: où le chauffe-eau électrique marche de 8h à 19h

Le problème général de l'énergie solaire c'est son stockage sous forme d'eau chaude en vue d'une ultérieure utilisation. Les courbes 1 et 2 prouvent que la température d'eau chaude les plus élevées sont enregistrées aux heures où les bains sont les moins probables (12^h et 16^h); car les températures ambiantes sont assez importantes (30°C et 35°C).

Ainsi il faudrait donc penser à stocker cette eau chaude même si cela influe sur le coût d'acquisition du capteur solaire. Pour satisfaire ce propos on devrait concevoir un réservoir de stockage intégré au circuit et isolé thermiquement.

Les performances économiques du système intégré dépendent des habitudes sanitaires de la famille où le chauffe-eau électrique et solaire sont installés, elles dépendent en même temps de l'ensoleillement moyen reçu durant le jour, le mois et l'année.

Alors pour déduire les performances de notre système nous allons faire un ensemble d'hypothèses sur l'utilisation du système intégré.

Le réglage du thermostat du chauffe-eau électrique est à 110°F (43.3°C). On suppose

que dans la famille quelqu'un prend une douche durant 10min avec un debit de 1.2l/min minimum à toutes les heures entre 8^h et 19h

les tableaux 4, 4' et 4'' traduisent les mesures obtenues dans de telle hypothèse de base.

Ces mêmes tableaux montrent que l'on réalise des économies journalières allant de 10% à 68%. Plus un site est ensoleillé, plus le chauffe-eau électrique est bypassé et moins un site est ensoleillé plus le chauffe-eau électrique fonctionne et redoit les économies réalisées.

Les tableaux 4, 4' et 4'' donnent

<u>Journée</u>	<u>Moyenne Solaire</u>	<u>Economie</u>
24/5	92 W/m ²	10%
23/5	260 W/m ²	68%
22/5	567 W/m ²	32%

Si les conditions d'utilisation du chauffage combine restent identiques on peut tirer une corrélation entre l'économie moyenne réalisée et l'ensoleillement moyen arrivant sur le site durant un mois; cette corrélation nous permet de déterminer la courbes des moyennes d'économie durant l'année.

Tableau n°3: chauffe-eau fonctionnant seul
thermostat réglé à 110°F (43.3°C)

Mesures de la puissance consommée

Heures	temp. Eau entrée °C	temp. Eau Sortie °C	Puissance kwh
8	27	42	3.3
9	27	43	0
10	27	43	0
11	29	33	1.6
12	29	43	0
13	30	37	1.4
14	30	43	0
15	30	35	1.0
16	30	43	0
17	29	43	1
18	28	43	0
19	27	43	1

Consommation journalière totale 9.3 kwh

debit de bain de 1.2l/min durant 10min

à toutes les heures indiquées

Tableau 4": Couplage chauffe eau Electrique
et chauffe-eau solaire

Journee du 22/05/84

Moyenne solaire de 567 W/m²

Heures	temp. eau Capeur	temp. eau C.E	P kwh
8	27	43.3	3.36
9	39	43.3	0.88
10	41	43.3	0.474
11	43	43.3	0.619
12	58	57	0
13	60	59	0
14	63	62	0
15	51	50	0
16	50	49	0
17	48	48	0
18	44	43	0
19	40	43.3	0.68

Consommation journaliere

6.03 kwh

soit une economie de

$$\frac{9.3 - 6.03}{9.3} \times 100 \approx 33\%$$

Tableau 4: Couplage chauffe-eau solaire et chauffe-eau électrique

Journée du 24/5/1984

Moyenne ensoleillement 92 W/m^2

Journée mediocre - très diffuse.

Heures	temp. eau sortie capteur	temp. eau chauffe-eau	P kWh
8	38	43.3	1.09
9	38	43.3	1.09
10	38	43.3	1.09
11	43	43.3	0
12	40.5	43.3	0.56
13	43	43.3	0.062
14	42	43.3	0.268
15	41	43.3	0.473
16	40	43.3	0.68
17	40	43.3	0.30
18	38	43.3	0.68
19	37	43.3	1.2

Consommation journalière totale 8.283 kWh

soit économie de $\frac{9.3 - 8.283}{9.3} \times 100 \approx 10\%$

Débit de bain 1.21/min durant 10 min à toutes les heures indiquées.

Tableau 4: Couplage chauffe-eau électrique et chauffe-eau solaire

Journée du 23/05/1984

Moyenne solaire 260W/m²

Heures	temp. eau sortie capteur	temp. eau sortie e.E	P kwh
8	39	43.3	0.222
9	28	43.3	1.093
10	46	43.3	0.268
11	42	43.3	0.268
12	57	55	0
13	54	53	0
14	47	46	0
15	42	43.3	0.0619
16	42	43.3	0.268
17	43	43.3	0.0619
18	46	45	0
19	45	44	0

Consommation journalière totale 2.91kwh

Soit une économie de $\frac{9.3 - 2.91}{9.3} \times 100 = 68.7\%$

Débit de bain de 1.2l/min durant 10min
à toutes les heures indiquées

CHAPITRE VI: ETUDE
ECONOMIQUE

Calculons le coût d'acquisition du capteur intégré'

Designation	Dimensions	Materiaux	Prix cFA
Support principal	1.70 x 1.5 m ²	Bois	10619
Support lateral	1.40 x 0.99 m ²	Bois	4081
Support Reflecteur	1.30 x 0.99 m ²	Bois	6845
Vitrage	1.22 x 0.99	Plexiglas	55245
Reservoir	$\phi = 43.$ mm $L = 1m$	Acier Inox.	23000
Papier Alu	2.4 m ²	papier Alu	4509
charnières de fixation	5cm x 5cm x 5	acier Inox	1790
Tuyau	$\phi 25$ $L = 5.5m$	P.V.C	2000
Robinets	$\phi 1"$	Cuivre	2500
Main d'Oeuvre	30 h		7500

Investissement total:

118 089

soit P_n la valeur en n années de l'argent P_0 au taux d'intérêt i on a

$$P_n = P_0 (1+i)^n$$

Si la somme P_0 doit être payée partiellement chaque année sous forme d'annuité en a

$$R = \frac{P_0 \times i}{(1+i)^n - 1} = \frac{P_0 (1+i)^n \times i}{(1+i)^n - 1}$$

Soit P'_0 la somme qui quelqu'un peut investir sur le capteur solaire pour en tirer profit au taux d'inflation j et soit R'_0 son annuité. Nous allons poser que n est la durée de vie du système.

$$P'_0 = R'_0 \frac{(1+ie)^n - 1}{ie(1+ie)^n}$$

$$\text{ou } ie = \frac{1+i}{1+j} - 1$$

soit i = taux d'intérêt de 12%

j : taux augmentation annuelle kWh Senelec, prix actuel 80 cFA

Soit $n = 5$:

$$P_5 = P_0 (1+i)^5$$

$$= 118089 (1+12\%)^5 = 208113.2 \text{ cFA}$$

$$R = \frac{208113.2 \times (0.12)}{(1.12^5 - 1)} = 32759 \text{ cFA}$$

$$i_e = \frac{1.12}{1.064} - 1 = 0.0526$$

$$R'_0 = \frac{118089 \times (1.0526)^5 \times 0.053}{1.053^5 - 1}$$

$$R'_0 = 27471.9 \text{ CFA}$$

n	5	6	7	8
R	32759.	28722.	25875.4	23772.0
R'_0	27472.	23439.4	20757.5	18463
ΔR	5287	+5262.5	5118	5309

On voit que le chauffe-eau est rentable car l'économie minimum réalisée par année permet de compenser $R - R'_0 = \Delta R \geq 5400 \text{ CFA}$.

Même pour une durée de vie inférieure à 5 ans le chauffe-eau est financièrement rentable.

**C CONCLUSIONS ET
RECOMMANDATIONS.**

Au terme de cette étude, il est important de tirer des conclusions et de proposer des recommandations sur le projet capteur solaire intégré.

Les équations du modèle avec charge et sans charge ont permis de constater que les performances thermiques du capteur peuvent être améliorées en jouant sur le rapport V/A_p . Croire courbe n° 8 traduisant l'équation [1a].) Cette même courbe montre que on peut augmenter la température de distribution de l'eau T_{dw} jusqu'à même 100°C si le rapport V/A_p est de 20l/m^2 , ainsi l'on obtient un capteur moins volumineux et plus performant, son temps de réponse augmente en même temps. Avec un tel capteur on pourrait penser à diversifier l'utilisation du chauffe-eau solaire dans les applications autres que domestiques (hotels et industries chimiques.) Ces applications solaires contribueraient à améliorer l'allégement des factures d'électricité des hotels et des industries où le chauffe-eau est installé.

les équations de conception du réservoir montrent de même que l'on peut avoir un capteur plus grand ou plus petit et plus performant que le capteur expérimental.

Les expérimentations ont permis de voir que les économies énergétiques moyennes réalisées durant une année sont au minimum de 20%. Pour mieux valider nos résultats d'autres tests sur des périodes plus longues (ex: 9 mois) pourraient être faits.

La courbe n°8 des économies énergétiques moyennes durant une année pourrait être améliorée si le capteur était muni d'un réservoir de stockage qui pourrait permettre d'accumuler l'eau chaude obtenue entre 12^h et 16^h pour des utilisations nocturnes. Ce réservoir devrait dimensionné et isolé thermiquement afin qu'il puisse accumuler sans pertes l'eau chaude produite le jour.

Une étude devrait porter sur l'automatisation du système d'ouverture des vannes de couplage et de découplage du système capteur solaire et chauffe-eau afin de réduire au minimum l'intervention humaine.

Le capteur ainsi obtenu sera placé dans un endroit très accessible à l'entretien et à la surveillance des matériaux composant le système.

Pour améliorer les capacités d'accumulation thermique du capteur on a pensé le placer dans une enceinte en béton qui absorbe le rayonnement diurne et le renvoie durant la nuit.

Ainsi malgré les caprices du soleil cette thèse de recherche appliquée a su démontrer scientifiquement que l'astre du jour adorée et adulée par les Egyptiens (Dieu Râ) peut aujourd'hui être apprivoisée par l'homme dans des applications aussi variées que le domestique et l'industrie.

Annee:

Programme de Calcul de l'angle
d'inclinaison optimum β d'un capteur
en fonction des divers jours de l'annee.

N.B: Listing Micro Mega 32 Marque Thompson C.S.F
Installé à L'E.P.T

```

0.0.050 REM DEFINITION DES VARIABLES
0.0.060 REM E INCLINAISON DU CAPTEUR
0.0.070 REM N NUMERO DU JOUR
0.0.080 REM D DECLINAISON DE LA TERRE LE JOUR DE L'EXPERIMENTATION
0.0.090 REM A LATITUDE DU LIEU
0.0.100 REM W SUNSET-SUNRISE
0.0.110 REM DEFINITION DES FONCTIONS SOLAIRES
0.0.115 OPEN "(6)" "L.P"
0.0.120 DEF FNR(N)= .40927*SIN((3.60*(-(N=8.0)/37.0)))
0.0.130 PRINT "INTRODUIRE LE JOUR"
0.0.140 INPUT N
0.0.150 LET D=FNR(N)
0.0.160 PRINT "INTRODUIRE LA LATITUDE DU POINT"
0.0.170 INPUT A
0.0.175 LET A=A*-0.174532
0.0.180 LET W=ACOS((-TAN(A))*TAN(D))
0.0.190 REM CALCUL DE L'ANGLE D'INCLINAISON B
0.0.200 LET E=COS(D)*SIN(W)*COS(A)-0.174532*SIN(D)*SIN(A)
0.0.210 LET F=COS(D)*SIN(W)*SIN(A)+0.174532*W*SIN(D)*COS(A)
0.0.220 LET B=ATN((-E)/F)
0.0.221 LET D=D*5? 29578
0.0.222 LET A=A*5? 29578
0.0.223 LET W=W*5? 29578
0.0.224 LET B=B*5? 29578
0.0.230 PRINT (6) a(-10), "D", a(-20), "A", a(-30), "W", a(-40), "B"
0.0.240 PRINT (6) a(10), D, a(20), A, a(30), W, a(40), B
0.0.250 PRINT (6); PRINT (6) "Pour le jour", N, "l'inclinaison optimale"
0.0.260 PRINT (6); PRINT (6)
0.0.270 END

```

Annexe: Programme utilisé pour résoudre l'équation différentielle du modèle mathématique avec charge de m°(e/s)

Conditions initiales $\rightarrow \begin{cases} x_0 \text{ représente le temps initial } x_0 = 0.5 \\ y_0 \text{ représente } \theta_0; y_0 = 5 \end{cases}$

F: l'équation différentielle réduite
 $\dot{\theta}' = F = f(x, y) = f(t, \theta)$

Résolution Équation différentielle par Méthode Range-Kutta-Gill

```

10: "A":INPUT "X0= ";X,"Y0= ";Y,"H= ";H
20: A=1+.5:B=1-.5:USING :Q=0
30: GOSUB 500
40: K=H*F:Y=Y+(K-2*Q)/2
50: Q=Q+3*((K-2*Q)/2)-K/2
60: X=X+H/2:GOSUB 500
70: K=H*F:Y=Y+B*(K-Q)
80: Q=Q+3*(B*(K-Q))-B*K
90: GOSUB 500
100: K=H*F:Y=Y+A*(K-Q)
110: Q=Q+3*(A*(K-Q))-A*K
120: X=X+H/2:GOSUB 500
130: K=H*F:Y=Y+(K-2*Q)/6
140: Q=Q+3*((K-2*Q)/6)-K/2
150: BEEP 3:PRINT X,Y
160: GOTO 30

```

$$500: F = 4.710^7 \sin 7.2310^{-5}t - 1.910^4 Y - 910^5$$

610: Return

- At example containing $y' = -x^2y$ (line 500,
- Write y' , x , and y by using F memory,
 X memory, and Y memory, respectively.

N.B: Listing Micro-ordinateur PC1211 appartenant à Modibo DIOP Polytechnique

Annexe: Resolution Analytique d'une
Equation différentielle par la méthode de
Runge Kutta- Gill:

L'équation différentielle doit être réduite
à la forme $y' = \text{fonction}(x, y)$ et sous
les conditions initiales (x_0, y_0)

Il s'agit dans cette méthode de prendre
des valeurs de x à des intervalles réguliers
 h .

Donc $x_n = x_0 + nh \quad (n=1, 2, \dots)$
à la valeur de x_n correspond une
solution nominale y_n .

Les formules pour obtenir x_{n+1} et y_{n+1}
à partir de x_n, y_n sont données par
les équations de Runge Kutta- Gill

$$k_0 = h f(x_n, y_n) \quad r_1 = (1/2)(k_0 - 2g_0)$$

$$y^{(1)} = y_n + r_1 \quad g_1 = g_0 + 3r_1 - (1/2)k_0$$

$$k_1 = h f(x_n + h/2, y^{(1)})$$

$$r_2 = (1 - \sqrt{1/2})(k_1 - g_1)$$

$$y^{(2)} = y^{(1)} + r_2; \quad g_2 = g_1 + 3r_2 - (1 + \sqrt{1/2})k_1$$

$$k_2 = h f(x_n + h/2, y^{(2)})$$

$$r_3 = (1 + \sqrt{1/2})(k_2 - g_2)$$

$$y^{(3)} = y^{(2)} + r_3$$

Suite Méthode R. Kutta. Gill

$$q_3 = q_2 + 3r_3 - (1 - \sqrt{1/2})k_1$$

$$k_2 = h f(x_n + h/2, y^{(2)})$$

$$r_3 = (1 + \sqrt{1/2})(k_2 - q_2)$$

$$y^{(3)} = y^{(2)} + r_3$$

$$q_3 = q_2 + 3r_3 - (1 + \sqrt{1/2})k_2$$

$$k_3 = h f(x_{n+1}, y^{(2)})$$

$$r_4 = (1/6)(k_3 - 2q_3)$$

$$y_{n+1} = y^{(3)} + r_4; q_4 = q_3 + 3r_4 - (1/2)k_3$$

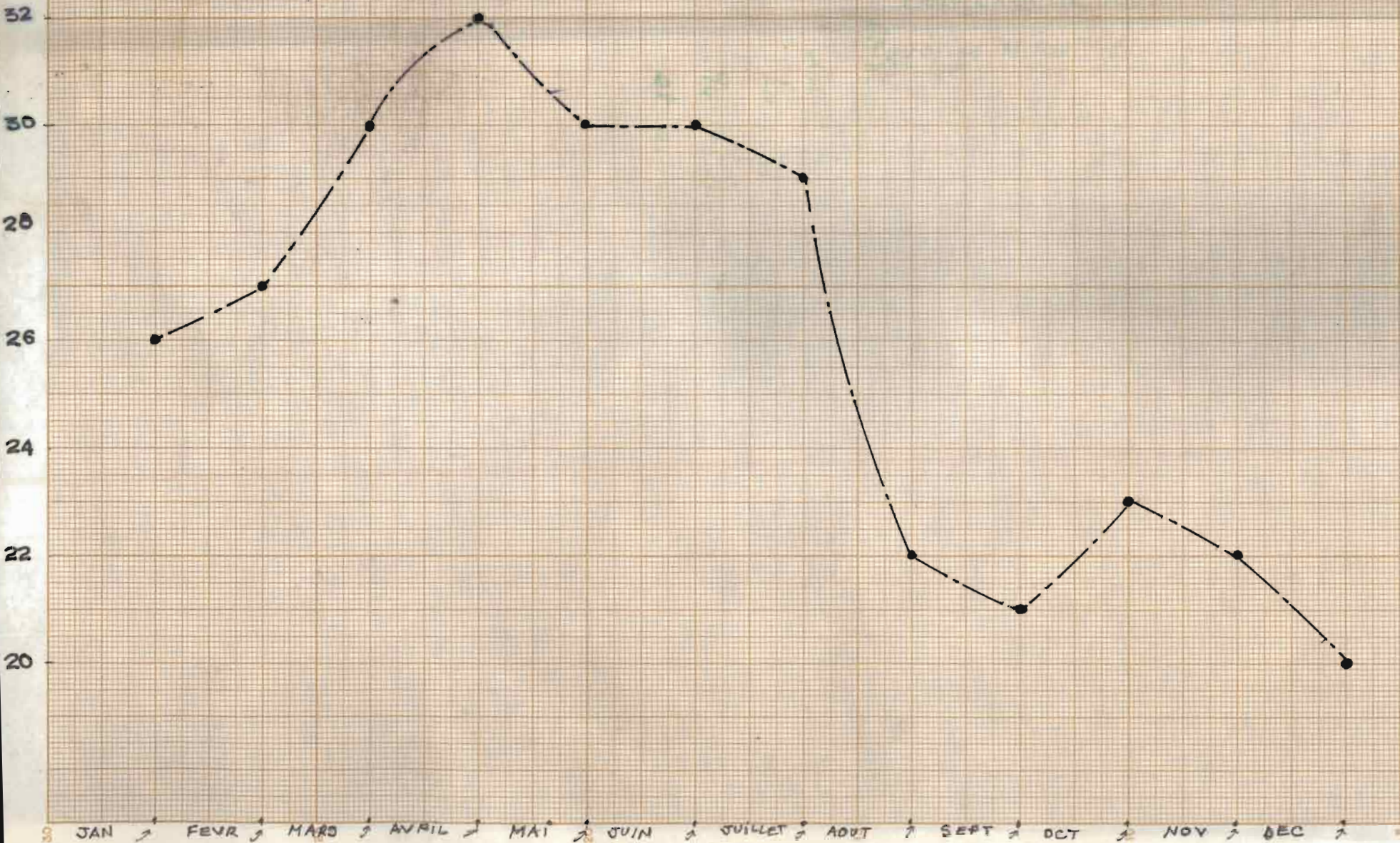
Ainsi y_{n+1} est déterminé par y_n

ici $n = 0, 1, 2$

La valeur de q_0 est 0 au point x_0 et
 q_4 est pris comme nouvelle valeur de q_0
et ainsi de suite.

Graphique 12 Economies Moyennes du Système intégré chauffe-eau

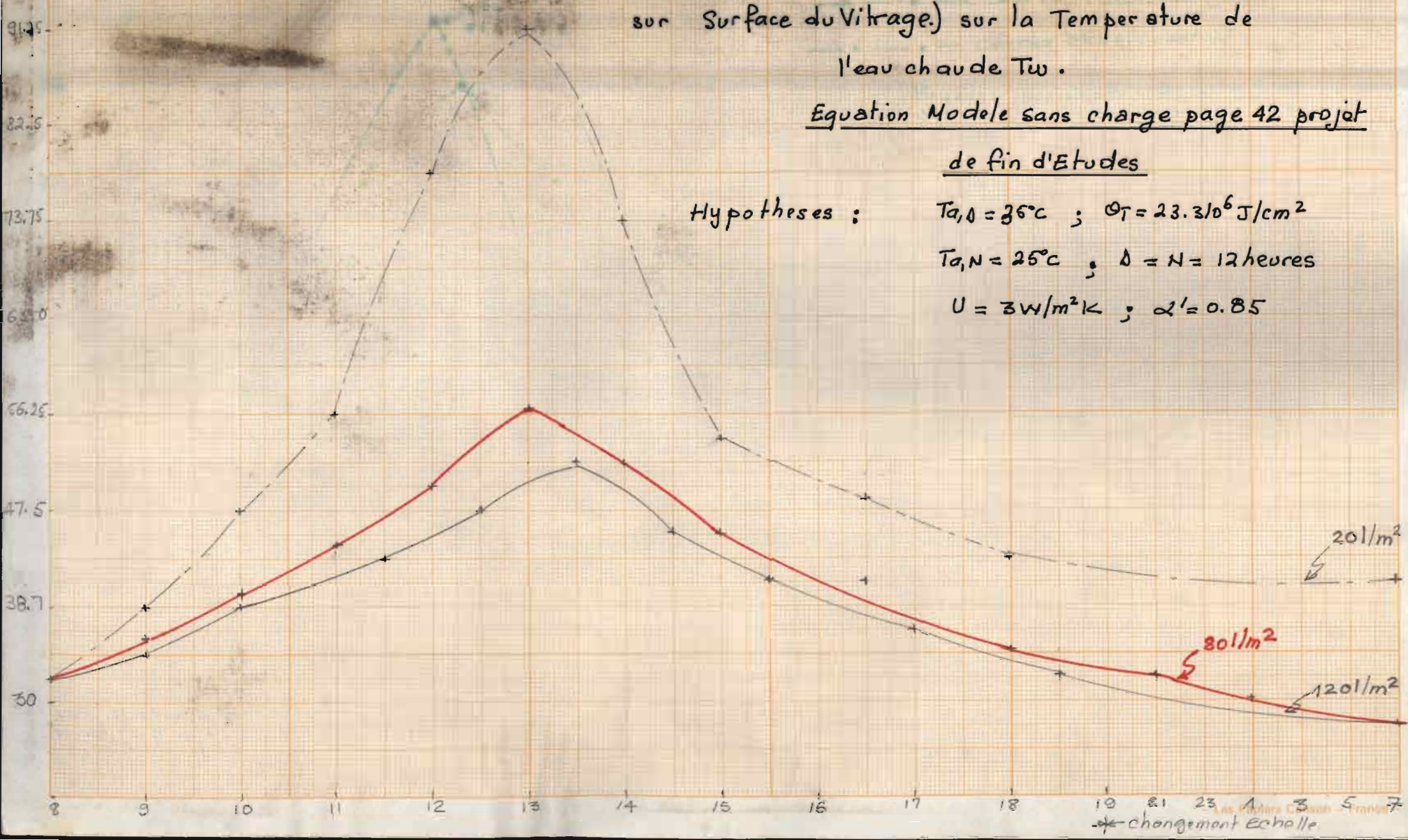
Electrique- chauffe eau Solaire durant 12 mois



COURBES Influence du Rapport V/A_p (Volume réservoir sur Surface du Vitrage) sur la Température de l'eau chaude T_w.

Equation Modèle sans charge page 42 projet de fin d'Etudes

Hypothèses : $T_{a,0} = 36^\circ\text{C}$; $\Theta_T = 23.3 \cdot 10^6 \text{ J/cm}^2$
 $T_{a,N} = 25^\circ\text{C}$; $\Delta = N = 12$ heures
 $U = 3 \text{ W/m}^2\text{K}$; $\alpha' = 0.85$



T_w °C

A3

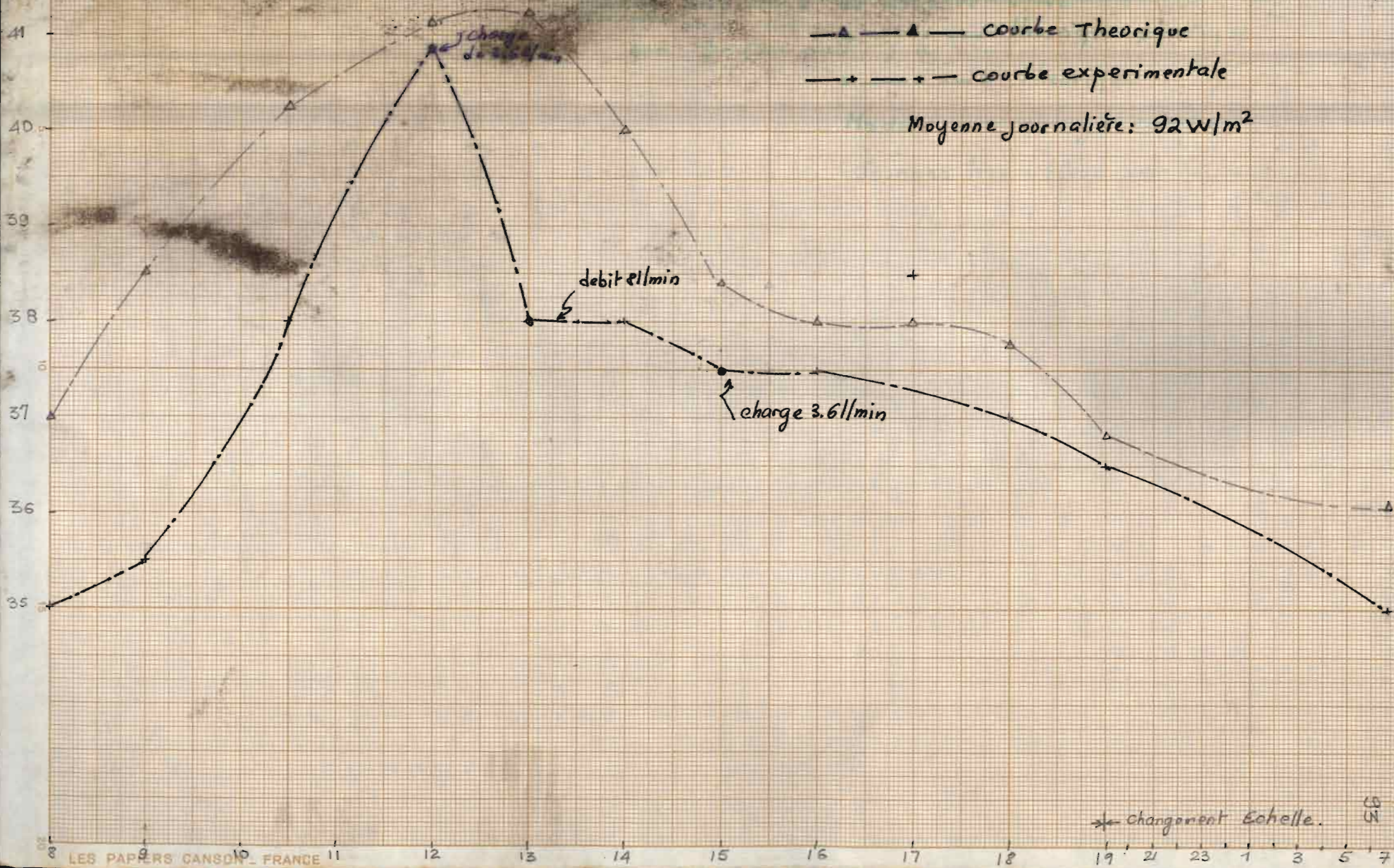
COUPE 21: Evolution T_w Modèle avec charge

Journée du 24/05/84 (Tableau 2')

—▲—▲— courbe Théorique

—+—+— courbe expérimentale

Moyenne journalière: 92 W/m^2



T_{ws}

Courbe 3: 23/05/84 Température eau sortie

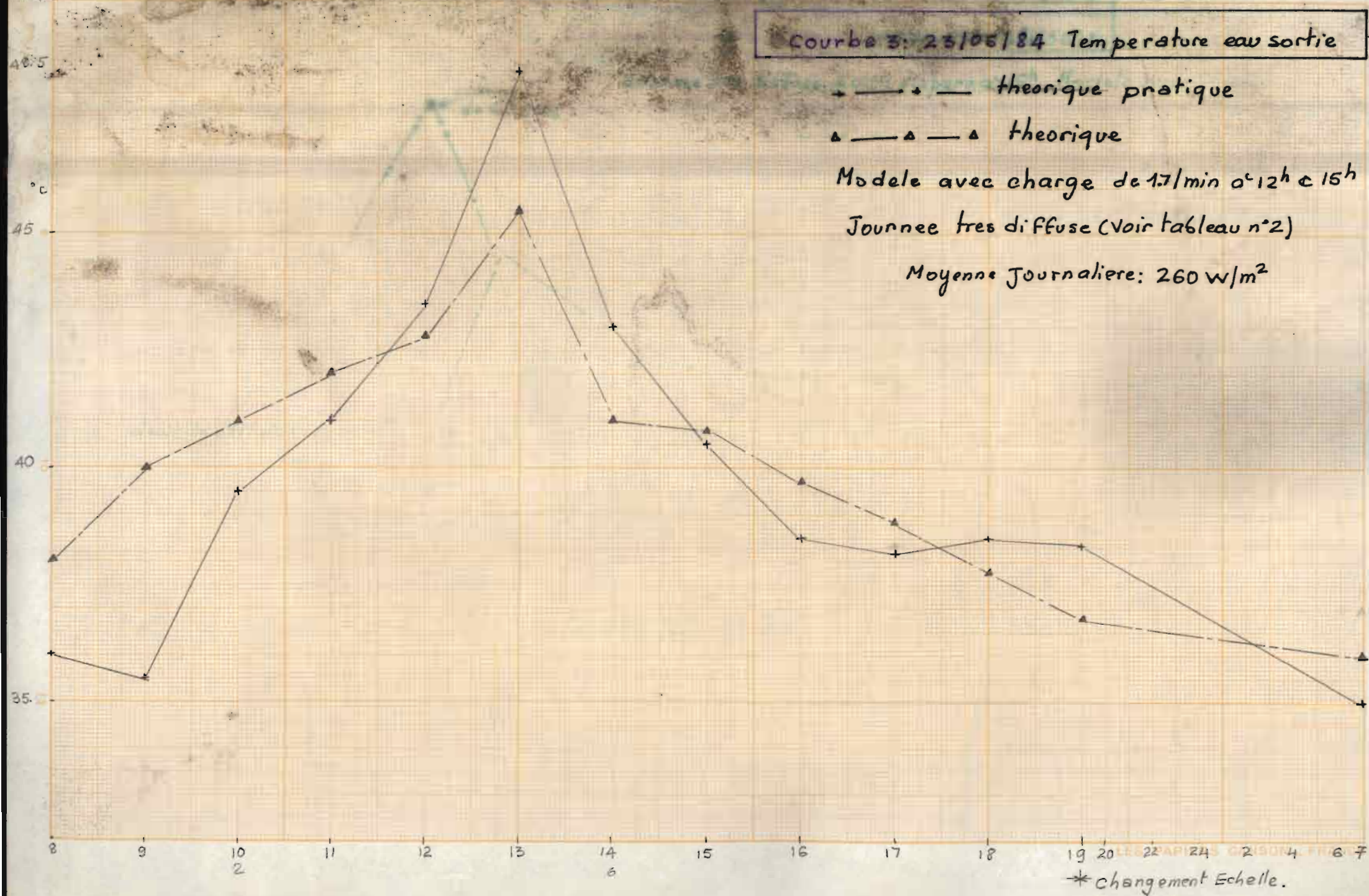
+ — + — théorique pratique

▲ — ▲ — ▲ théorique

Modèle avec charge de 1.7/min de 12h à 15h

Journée très diffuse (Voir tableau n°2)

Moyenne Journalière: 260 W/m²

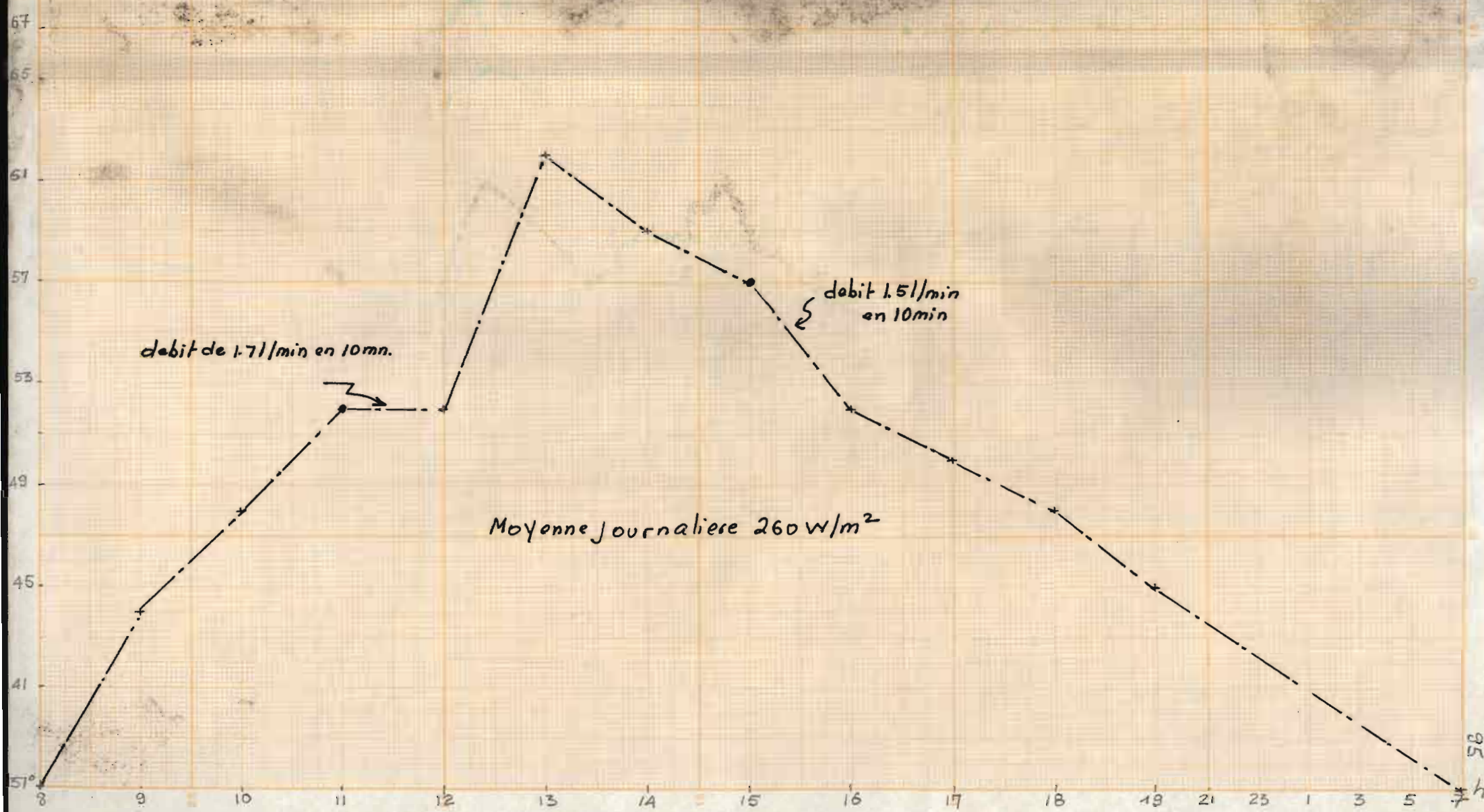


* changement Echelle.

Tab_s °C

Courbe: Evolution Tab_s durant le 23/06/84

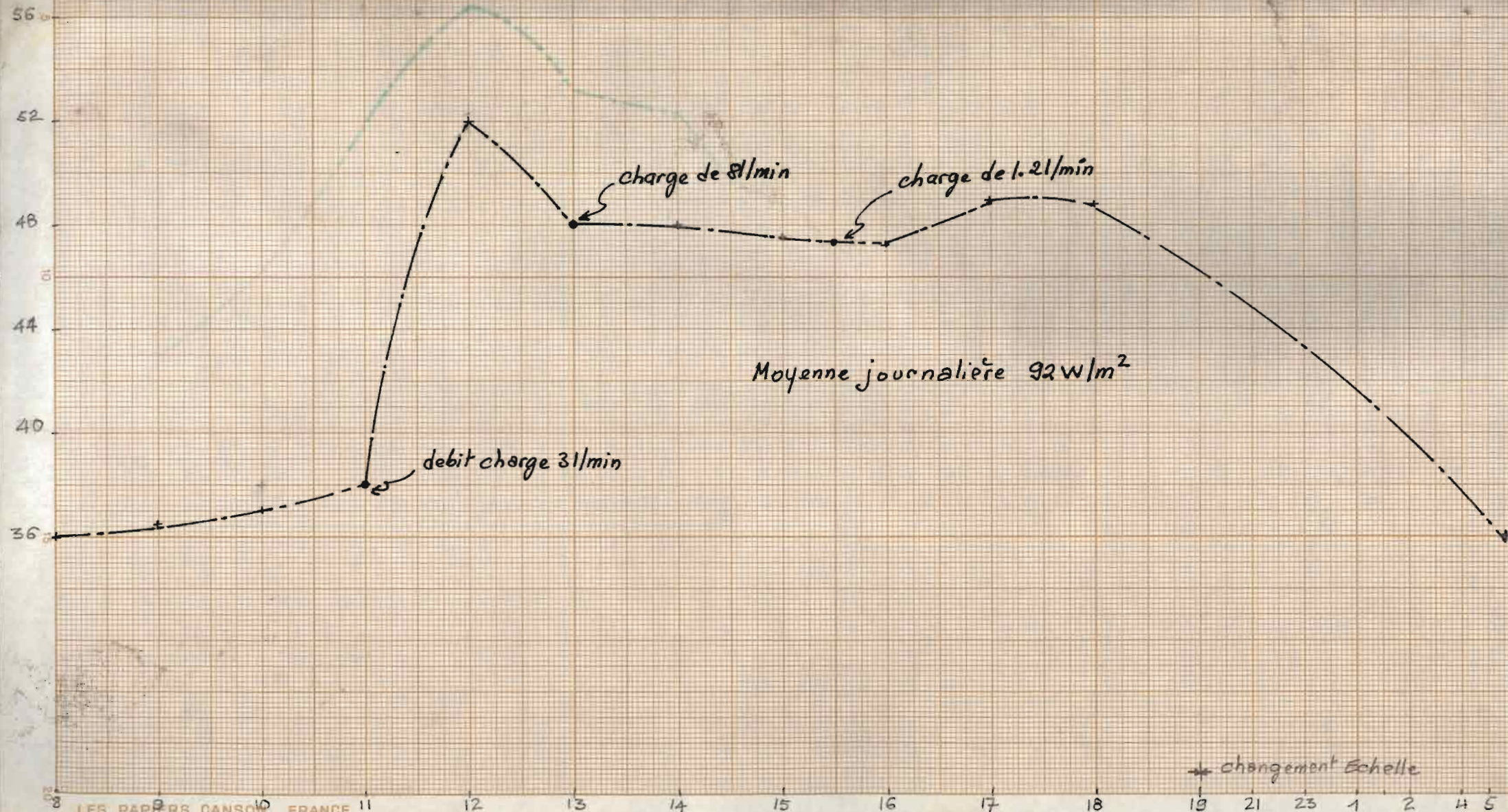
Journée très diffuse. Soleil disparu à 15h. Modèle avec charge.



Evolution Temp. Absorbeur du modèle avec charge.

Journée du 24/06/84.

Journée très diffuse. (Voir tableau 2)

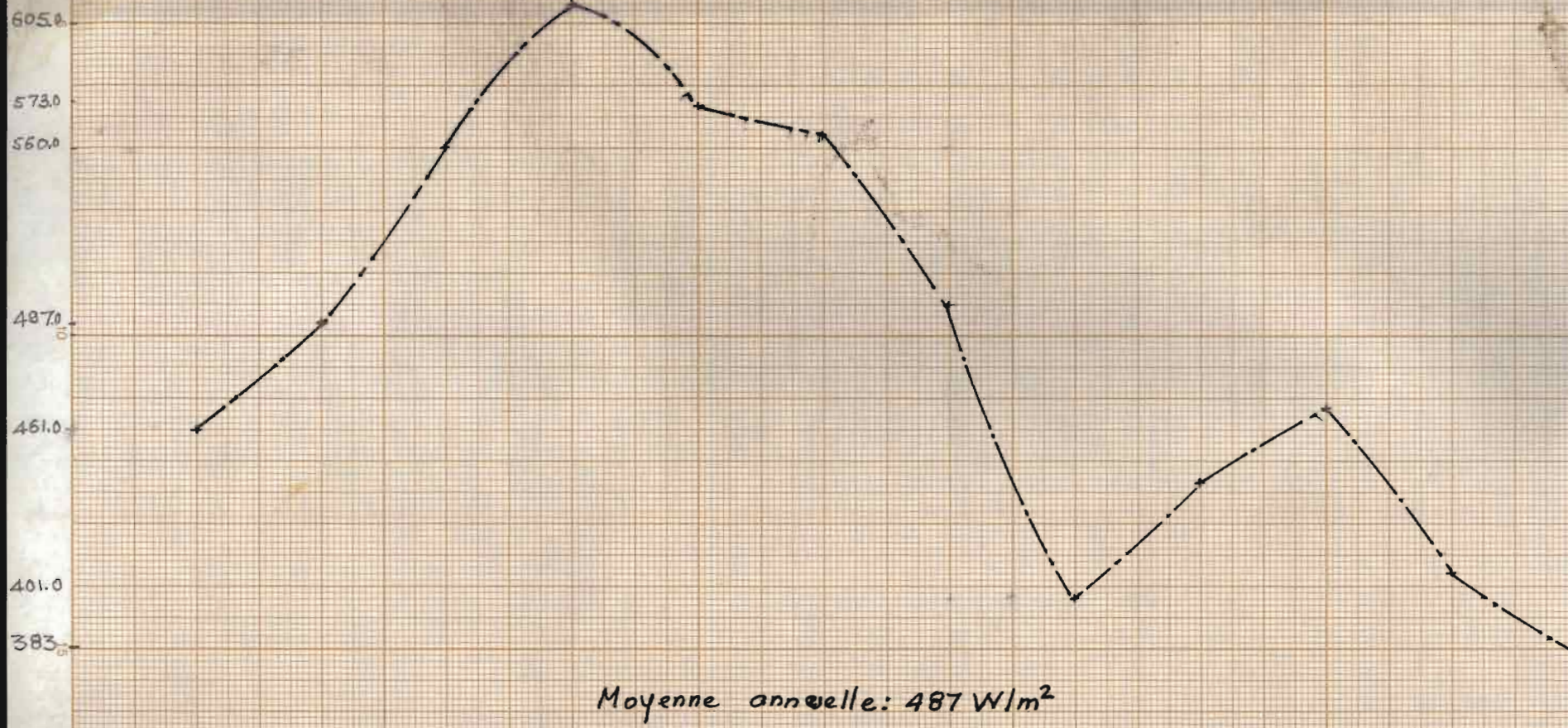


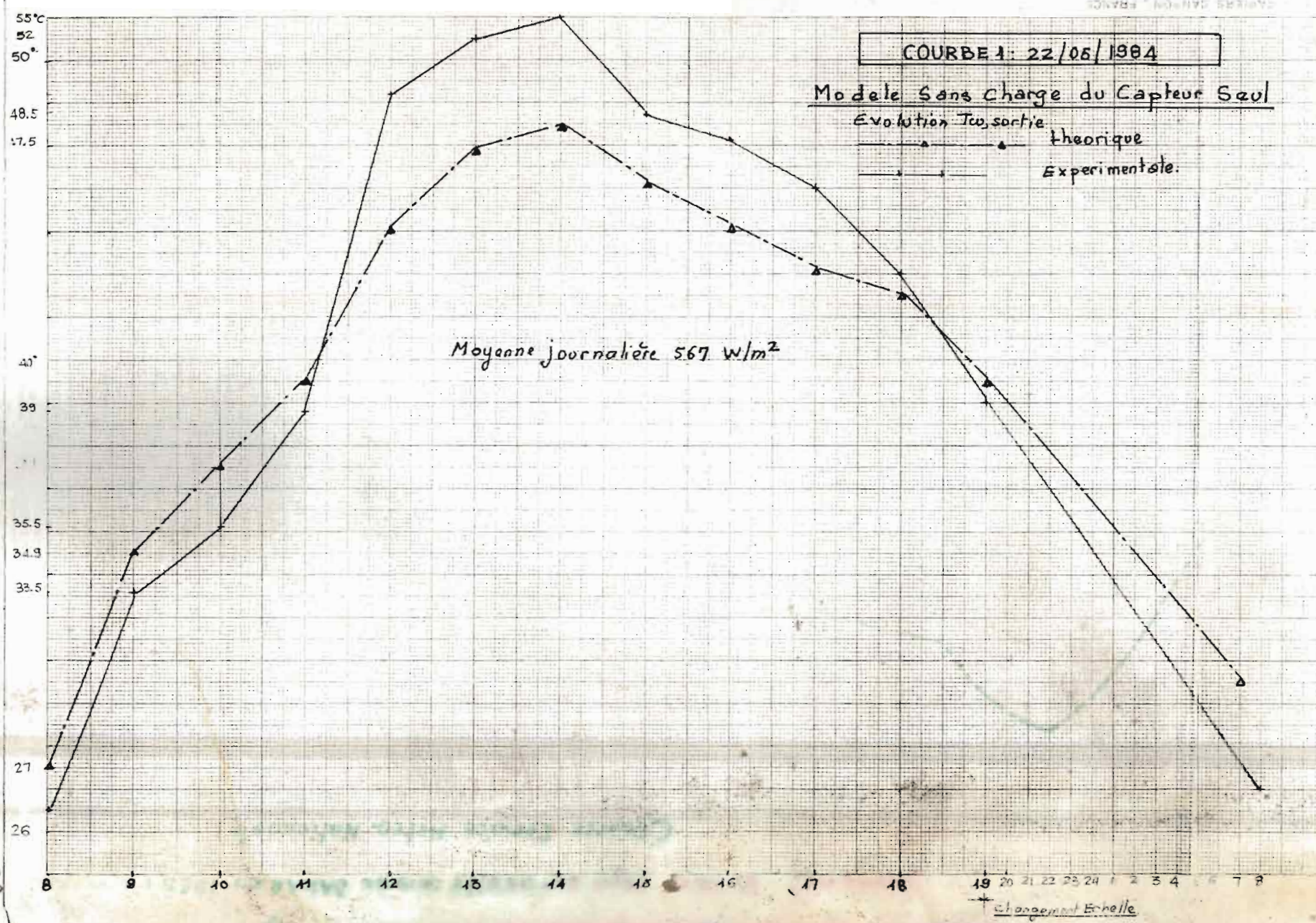
W/m²

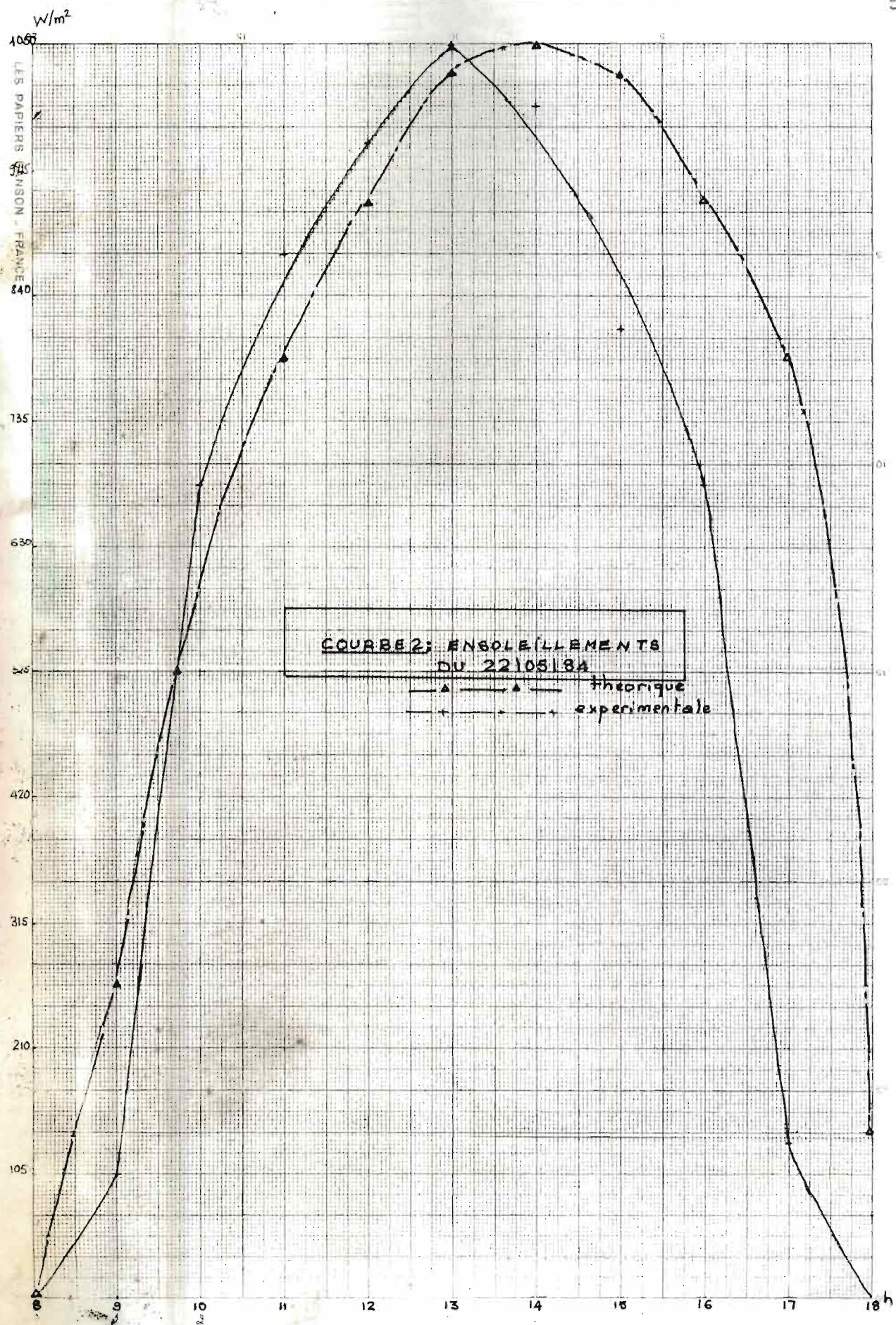
graphique montrant les moyennes de l'intensité du rayonnement

(mensuel) solaire reçu sur un site comme DAKAR en 1983 en W/m²

(source Service Météo-Nationale)







WMO < BMO
TOTAL radiation (sun and sky) T, 10E4 J/m²
Duration of sunshine sa, hours

month and year FEVRIER

1983

Countries - SENEGAL

DAILY TOTALS T							
LATITUDE	14 42N	14 43N	12 34N	15 37N	16 36N	13 46N	12 33N
LONGITUDE	16 28W	17 26W	12 13W	16 13W	14 56W	15 41W	16 16W
ELEVATION	20.00m	4.00m	165.45m	38.000m	5.37m	48.68m	19.30m
STATION	BAMBEY	DAKAR-HANN	KEDOUGOU	LOUGA	PODOR	TAMBA-COUNDA	ZIGUIN-CHOR
DATE							
1		1675		1520		1940	1095
2		1959		1915		1980	1045
3		2086		2103		2031	1377
4		XXXX		2148		2060	1328
5		XXXX		2002		2009	1429
6		2074		2018		11150	1553
7		2120		2128		1858	1442
8		1799		1871		1509	1471
9		1770		1430		0904	1545
10		2362		2421		2072	1513
11		2165		1979		2015	1341
12		2087		1841		1930	1432
13		2217		1839		1404	1461
14		1917		1977		1814	1332
15	EN PANNE	2215	EN PANNE	2128	NON PARV	1498	1029
16		2360		2260		1350	1139
17		2252		2157		1488	1318
18		2223		2167		2006	1455
19		2234		2179		1940	1479
20		2262		XXXX		1927	1553
21		2337		XXXX		2148	1601
22		2432		XXXX		2221	1574
23		XXXX		XXXX		2290	1035
24		2364		XXXX		2325	1572
25		2215		XXXX		2350	1209
26		2244		2055		2011	1013
27		1994		1947		1896	1686
28		1847		1813		1863	XXXX
MONTHLY TOTALS		39483		155870		51989	38398
DAILY MEANS		2124.4		1995.4		1856.7	1371.4
MONTHLY TOTALS	240.3	252.3	233.8	241.7	245.6	243.5	251.0
DAILY MEANS	8.58	9.01	8.35	8.63	8.77	8.70	8.96
TYPES OF INSTRUMENT	Inte. K&Z CMS	L&N K&Z CMS	JYRA-G K&Z CMS	CIMEL K&Z CMS	JYRA-E K&Z CMS	CIMEL K&Z CMS	CIMEL K&Z CMS

TOTAL radiation (sun and sky) T, 10^4 J/m^2
Duration of sunshine sa, hours/

Month and Year JANVIER

1983

Country SENEGAL

DAILY TOTALS T

LATITUDE	14 42N	14 43N	12 34N	15 37N	16 36N	13 46N	12 33N
LONGITUDE	16 28W	17 26W	12 13W	16 13W	14 56W	15 41W	16 16W
ELEVATION	20.00m	4.00m	165.45m	38.000m	5.37m	48.68m	19.30m
STATION	BAMBEY	DAKAR-HANN	KEDOUGOU	LOUGA	PODOR	TAMBA-COUNDA	ZIGUINCHOR
DATE							
1		1236		1176		1415	1429
2		1277		1295		1432	1342
3		1310		1314		1463	1287
4		1234		1218		1500	1481
5		1509		1442		1620	1376
6		1174		1125		1482	1233
7		XXXX		1403		1384	10938
8		XXXX		1759		1730	1309
9		1835		1904		1766	1228
10		XXXX		1782		1720	1378
11		XXXX		1555		1622	1130
12		1660		1332		1579	1398
13		1589		1562		1604	1424
14		1499		1282		1414	1543
15	EN PANNE	1536	EN PANNE	1463	NON PARV	1405	1456
16		1567		1560		1396	1248
17		1651		1673		1666	1131
18		1798		1855		1600	1077
19		2131		1968		1870	1214
20		1939		1922		1931	1067
21		2027		1908		1776	1262
22		2015		1959		1784	1372
23		1953		2028		1881	1311
24		1958		1952		1801	1175
25		1906		1820		1798	1333
26		1814		1876		1917	1302
27		1900		1770		1788	1390
28		1646		1738		1659	1290
29		1309		1579		1249	1229
30		1716		1584		1447	1499
31		1834		1978		1971	1267
MONTHLY TOTALS		149847		150782		150670	140119
DAILY MEANS		1607.9		1638.2		1634.5	1294.2
MONTHLY TOTALS	223.4	191.1	253.2	220.5	189.1	260.9	263.6
DAILY MEANS	17.20	6.29	18.17	17.11	16.10	18.49	18.90
TYPES OF INSTRUMENT	L&N K&Z CM5	JYRA-G K&Z CM5	CIMEL K&Z CM5	JYRA-E K&Z CM5	CIMEL K&Z CM5	CIMEL K&Z CM5	CIMEL K&Z CM5

TOTAL radiation(sun and sky) T, 10E4J/m²
Duration of sunshine sa, hours/

Month and year MAI

1983

Country SENEGLA

DAILY TOTALS T

LATITUDE	14 42N	14 43N	12 34N	15 37N	16 36N	13 46N	12 33N
LONGITUDE	16 28W	17 26W	12 13W	16 13W	14 56W	15 41W	16 16W
ELEVATION	20.00m	4.00m	165.45m	38.000m	5.37m	48.68m	19.30m
STATION	BAMBEY	DAKAR-HANN	KEDOUGOU	LOUGA	PODOR	TAMBA-COUNDA	ZIGUINCHOR
DATE							
1		1815		1368		1346	1110
2		2015		1846		1874	1284
3		1959		1899		1657	10387
4		1972		1118		0274	0611
5		1876		1497		0692	1017
6		1731		1845		1090	1474
7		XXXX		2210		1537	1355
8		XXXX		2090		1466	1614
9		XXXX		1838		1763	1622
10		1544		1566		2075	1440
11		1803		2023		1853	1390
12		2017		2005		1693	1408
13		2124		2011		1582	1553
14		1226		0867		1929	1258
15	EN FANNE	XXXX	EN FANNE	0918	NON PARV	1856	1546
16		1961		2022		1869	1505
17		1915		2263		2194	1652
18		2124		2195		2119	1321
19		2321		2085		2031	1606
20		2211		2343		2157	1248
21		2360		2632		1763	1696
22		2475		2826		2182	1656
23		2075		2524		2176	1439
24		2041		2546		1868	1470
25		2074		2719		2080	1616
26		1033		1026		2086	1392
27		1064		XXXX		2182	1611
28		2210		2280		1882	1184
29		1836		2444		1921	1836
30		2162		2820		2297	2021
31		2445		2969		2342	1763
MONTHLY TOTALS		60150		62718		55836	44085
DAILY MEANS		1940.3		2023.2		1801.2	1422.1
MONTHLY TOTALS	166.3	191.6	198.7	184.3	175.4	217.5	241.3
DAILY MEANS	5.36	6.18	6.41	5.95	5.66	7.02	7.78
TYPES OF INSTRUMENT	L&N K&Z CM5	JYRA-G K&Z CM5	CIMEL K&Z CM5	JYRA-E K&Z CM5	CIMEL K&Z CM5	CIMEL K&Z CM5	CIMEL K&Z CM5

103

WMO /BMO
TOTAL radiation(sun and sky) T,10E4J/m²
Duration of sunshine say, hours/

Month and year JUIN

1983

Country SENEGAL

DAILY TOTALS T							
LATITUDE	14 42N	14 43N	12 34N	15 37N	16 36N	13 46N	12 33N
LONGITUDE	16 28W	17 26W	12 13W	16 13W	14 56W	15 41W	16 16W
ELEVATION	20.00m	4.00m	165.45m	38.000m	5.37m	48.68m	19.30m
STATION	BAMBEY	DAKAR-HANN	KEDOUGOU	LOUGA	FODOR	TAMBA-COUNDA	ZIGUIN-CHOR
DATE							
1		2018		2486		1910	1700
2		1964		2676		2128	1604
3		1770		2710		2191	1292
4		1891		2560		2051	1821
5		2032		2097		1965	1549
6		1716		2107		1721	1680
7		1299		2197		1785	1178
8		1578		2204		1869	1854
9		2026		2568		2097	1623
10		2190		2434		2101	1848
11		2184		2567		2262	1071
12		2180		2352		10899	11060
13		2133		1480		10999	11161
14		1894		1528		1721	1393
15	EN PANNE	1894	EN PANNE	2160	NON FARV	2007	1711
16		2244		2770		2130	1673
17		XXXX		2483		10728	11128
18		XXXX		2772		12344	11356
19		XXXX		2520		11512	11349
20		2251		3205		10921	11923
21		2445		3127		12179	11628
22		XXXX		2072		1868	11951
23		2248		2905		1740	11708
24		XXXX		3156		2199	11795
25		1760		2900		2162	11729
26		2169		2958		2370	11241
27		1747		2830		10061	11276
28		2273		3125		1067	11529
29		XXXX		3000		10331	11563
30		1885		2858		1776	11527
MONTHLY TOTALS		59739		80401		152797	145821
DAILY MEANS		1991.3		2596.6		1703.1	1527.4
MONTHLY TOTALS	209.9	201.3	243.6	226.5	221.2	222.6	216.7
DAILY MEANS	6.99	6.71	8.12	7.55	7.37	7.42	7.22
TYPES OF INSTRUMENT	L&N K&Z CM5	JYRA-G K&Z CM5	CIMEL K&Z CM5	JYRA-E K&Z CM5	CIMEL K&Z CM5	CIMEL K&Z CM5	CIMEL K&Z CM5

TOTAL radiation(sun and sky) T, 10E4J/m²
Duration of sunshine sec, hours/

Month and year MARS

1983

Country SENEGLA

DAILY TOTALS T

LATITUDE	14 42N	14 43N	12 34N	15 37N	16 36N	13 46N	12 33
LONGITUDE	16 28W	17 26W	12 13W	16 13W	14 56W	15 41W	16 16
ELEVATION	20.00m	4.00m	165.45m	38.000m	5.37m	48.68m	19.30
STATION	BAMBEY	DAKAR-HANN	KEDOUGOU	LOUGA	PODOR	TAMBA-COUNDA	ZIGUI-CHOR
DATE							
1		2011		2044		1079	1636
2		2219		2108		1843	XXXX
3		2281		2134		1762	1311
4		2180		1854		1163	1448
5		1948		XXXX		1692	1735
6		2373		XXXX		2248	1721
7		2434		1956		2229	1698
8		2389		1994		2208	1708
9		XXXX		2214		2277	1476
10		1933		1849		1720	1276
11		1515		1914		1864	1311
12		1172		1031		1835	1838
13		1961		1830		12080	1831
14		2211		2178		12141	1723
15	EN PANNE	2127	EN PANNE	2215	NON PARV	2056	1902
16		XXXX		2318		12267	11949
17		2391		2326		12252	11913
18		XXXX		2210		12216	11871
19		XXXX		2379		12305	11930
20		2192		2152		12295	11821
21		2358		2336		12354	11788
22		2393		2316		12236	11821
23		1637		2150		12132	11440
24		2201		2176		11808	11504
25		11486		1059		11613	11886
26		11868		1742		12365	11630
27		12035		12091		12316	11757
28		12525		12305		12434	11873
29		12600		12379		12402	11854
30		12117		11984		12326	11941
31		12660		12487		12439	11971
MONTHLY TOTALS		65694		163851		163957	153282
DAILY MEANS		2191.1		2059.7		12063.1	1718.7
MONTHLY TOTALS	1233.7	1234.2	1246.1	1226.8	1230.7	1263.4	1270.5
DAILY MEANS	7.54	7.55	7.94	7.31	7.44	18.50	18.73
TYPE\$ OF INSTRUMENT	L&N K&Z CM5	JYRA-G K&Z CM5	CIMEL K&Z CM5	JYRA-E K&Z CM5	CIMEL K&Z CM5	CIMEL K&Z CM5	CIMEL K&Z CM5

WMO /BMO

105

TOTAL radiation(sun and sky) T,10E4J/m²

Duration of sunshine say hours/

Month and year AVRIL

1983

Country SENEGAL

DAILY TOTALS T

LATITUDE	14 42N	14 43N	12 34N	15 37N	16 36N	13 46N	12 33
LONGITUDE	16 28W	17 26W	12 13W	16 13W	14 56W	15 41W	16 16
ELEVATION	20.00m	4.00m	165.45m	38.000m	5.37m	48.68m	19.30
STATION	BAMBEY	DAKAR-HANN	KEDOUGOU	LOUGA	PODOR	TAMBA-COUNDA	ZIGUI CHOR
DATE							
1	XXXX			2419		2483	1796
2	XXXX			2378		2199	1964
3	XXXX			2455		2247	1733
4	XXXX			2418		2084	1656
5	XXXX			2365		2107	1767
6	XXXX			2175		2154	1436
7	2577			2291		2025	1736
8	2755			2370		2248	1969
9	2825			2542		2340	2016
10	2754			2611		2378	1944
11	2621			2534		2328	1984
12	XXXX			2546		2466	1884
13	2305			2247		1984	1758
14	2575			2482		2126	1747
15	EN PANNE	2563	EN PANNE	2363	NON PARV	2133	1778
16		2474		2417		2154	1846
17		2675		2519		2361	1666
18		2312		2351		2016	1562
19		2304		2257		2116	1596
20		2504		2398		1970	1865
21		2390		2328		2224	1231
22		1639		1626		1309	1277
23		2007		2077		1454	1687
24		2145		10929		1919	1715
25		2260		13496		1936	1702
26		2060		2198		2188	1684
27		XXXX		2128		1946	1811
28		2383		2308		2261	1809
29		1469		1273		2253	1080
30		1665		1779		10690	1039
MONTHLY TOTALS		67076		68280		62099	49248
DAILY MEANS		2235.9		2276.0		2069.9	1641.6
MONTHLY TOTALS	234.1	244.5	257.5	252.6	264.8	260.2	278.4
DAILY MEANS	7.80	8.15	8.58	8.42	8.83	8.67	9.28
TYPES OF INSTRUMENT	L&N K&Z CM5	JYRA-G K&Z CMS	CIMEL K&Z CMS	JYRA-E K&Z CMS	CIMEL K&Z CMS	CIMEL K&Z CMS	CIMEL K&Z CMS

REFLECTOMETRE ET SENECA
MINISTERE DE L'EGLISEMENT
DIRECTION DE LA METEOROLOGIE NATIONALE
DAKAR YCFF EFAC14

ELLETTIN RADIONETRIGLE ANNEXE
RAYONNEMENT CLICAL EN J/cm²

1982

Localite	Latitude	Longitude	Elevation	Integrateur et Fyrene	Irc
ZIENISIKA	12 33'	16 16W	19.3CM	CINEL KZ2 CM5	156

JAN	FEB	MAR	AVR	MAY	JUN	JUL	AUG	SEP	OCT	NOV	DEC	
NFA			XXXX	2174	1787	1838	EN FA	XXXX	1773	1526	1112	
			XXX	1840	1557	1530		XXX	1773	1676	1278	
			XXX	2104	1865	1774		XXX	1838	1657	1560	
			XXX	1880	1562	1655		XXX	1656	1575	1628	
			XXX	1756	2001	1800		XXX	1524	1439	1419	
			XXX	1723	1524	1551		XXX	1253	1410	1496	
			XXX	1532	1506	1560		XXX	1345	1356	1491	
			XXX	1566	1656	1273		XXX	1226	1510	1615	
			XXX	1885	1618	1586		XXX	1580	1576	1507	
			XXX	1844	1738	1877		XXX	1208	1352	1419	
			XXX	1601	1527	1515		XXX	1520	1522	1557	
			XXX	1614	1729	1426		XXX	1138	1355	1555	
			XXX	1524	1782	1747		XXX	1080	1406	1299	
			XXX	2107	1638	1303		XXX	1628	1548	1315	
			XXX	2045	1466	1686		XXX	1552	1767	1342	
			XXX	1523	1870	1470		XXX	1849	1654	1287	
			XXX	2017	1385	1747		XXX	1853	1541	1481	
			XXX	1551	1357	1551		XXX	1395	1282	1376	
			XXX	1581	1551	1517		XXX	1667	1300	1233	
			1525	1941	1514	1420		XXX	1855	1485	1538	
			1521	1584	1523	1466		1580	1849	1588	1309	
			1543	1522	1530	1825		1705	1483	1455	1228	
			1857	1855	1542	1571		1853	1493	1352	1278	
			1712	1911	1070	1285		1856	1785	1490	1130	
			2057	1875	1510	1886		1624	1666	1463	1398	
			2074	1513	1636	1501		1563	1808	1261	1424	
			1585	1524	1302	1548		1521	1749	1342	1543	
			2110	1814	1766	1215		1702	1746	1355	1456	
			2073	1661	1731	1419		1818	1647	1451	1248	
			2047	1617	1347	1198		1871	1695	1407	1131	
				1643		1201			1698		1077	
				2172	38233	43392	43722		17527	23332	22332	21172
				676	1766	1554	1302		545	1508	1360	1245

Total mesure

FA: Ferree rcr ferree

X et C : Ferree mesurée

M: Moyenne mesurée

EN FA: Fr ferre

107

FEDELEGE DE L'EERCAF
MINISTÈRE DE L'ÉCLIPSEMENT
DIRECTOIRE DE LA MÉTÉOROLOGIE NATIONALE
DAKAR YCFF FLC14

ELLETIN RADICMETRIQUE ANNEL
RAYONNEMENT GLOBALE EN J/CM²

1982

Localité	Latitude	Longitude	Elevatior	Intégrateur et Filtre	Ind.							
JAN	FEB	MAR	AVR	MAY	JUN	JUL	AUÔT	SEP	OCT	NOV	DÉC	IND
EN FA	EN FA	EN FA	EN FA	EN FA	EN FA	EN FA	EN FA	XXXX	2222	2222	2222	3232
								XXXX	3222	2547	1905	
								XXXX	3741	2424	2024	
								XXXX	2856	2476	2376	
								XXXX	1048	2442	2555	
								XXXX	2462	2217	2336	
								2510	2412	XXXX	2405	
								2647	2747	2250	2492	
								1966	2376	2284	2575	
								3053	2278	XXXX	1559	
								2620	2314	2206	XXXX	
								1269	2746	XXXX	XXXX	
								3015	2654	2015	XXXX	
								1375	XXXX	1830	C867	
								3050	XXXX	2184	1685	
								2663	2214	2240	1655	
								2425	1408	2367	XXXX	
								2871	1533	2515	XXXX	
								XXXX	2539	2118	XXXX	
								2482	1574	1860	XXXX	
								2578	2748	2314	XXXX	
								2469	2558	2365	XXXX	
								2668	2570	2106	XXXX	
								2720	2686	C693	XXXX	
								2796	2214	2125	XXXX	
								1122	2540	2113	XXXX	
								2959	2628	1925	XXXX	
								2765	2607	XXXX	XXXX	
								2833	1751	1488	XXXX	
								2827	2644	1910	XXXX	
									2749		XXXX	
C	C	C	C	C	C	C	C	33227	71122	35232	26633	
C	C	C	C	C	C	C	C	1816	2153	1730	805	

Total mesuré

Moyenne mensuelle

EN FA: Corrégée pour parvenir

EN FA: En par

>> et C : Corrégée pour l'atmosphère

REFLEJIGIE EL EEREGAL
MINISTERE DE L'EGLISEMENT
DIFECTICA DE LA METECRCLCGIE NATIONALE
DAKAF YCFF EF4(14)

ELLETIN RADICMETRICLE ANNEL
RAYCNEAMENT CLCEAL EN J/CPZ

1982

Localite FCDF	Latitude 16 36N	Longitude 145EW	Elevation 5.37M	Integrateur et Fyrc CIMEL FEZ CMF	Irc CC1							
JAN	FEB	MAR	AVR	MAY	JUN	JUL	AUG	SEP	OCT	NOV	DEC	
EN FA	RCP F	RCP F	RCP F	ET FA	RCP F	RCP F	RCP F	XXXX	2222	1372		
								XXXX	1857	1453		
								XXXX	1411	1566		
								XXXX	1823	1706		
								XXXX	1839	1675		
								1551	1697	1049		
								2071	1297	1440		
								2028	1668	1631		
								2048	1781	1716		
								1951	1809	1760		
								1854	1737	1621		
								1753	1681	1718		
								1578	1724	1259		
								0876	0576	0760		
								1252	1745	1477		
								1765	1902	1263		
								1967	1702	1681		
								1648	1813	1716		
								1562	1812	1687		
								1676	1420	1524		
								1556	1303	0941		
								1530	1425	0764		
								1838	1520	0881		
								1955	1634	1437		
								2039	1314	1403		
								1568	1285	1428		
								2045	1397	1587		
								1911	1042	1757		
								1515	0875	1737		
								1567	1571	1547		
								2056		1318		
									27272	27372	22872	
									1453	1476	1257	

T : Total mesle

ET FA: Dcree rcr perryre

XXX et C : Dcree perclerte

M : Moyerre mesle

EN FA: Er perryre

109

FEFLELICLE DU SENEGAL
MINISTERE DE L'EGLISEMENT
DIRECTORAT DE LA METEOROLOGIE NATIONALE
DAKAR YCFF EF4C14

ELLETTIN RADICMETIQUE ANNUEL
RAYONNEMENT SOLAIRE EN J/CME

1982

Lecelte	Latitude	Longitude	Elevatice	Integretateur et Fyrene	Irc
	15 37N	16 13W	38. CCCP	JYFA-ELEC KEZ CME	CCC
1582	1523	2377	2238	2517	2222
1562	1781	2052	2378	2546	2417
1882	1631	2321	2400	2440	2205
1521	1861	1831	2152	2406	2167
2001	1547	1830	2372	2378	2400
1772	1647	1962	1918	2455	2427
1865	1740	1846	2158	2314	2428
2072	1628	2116	1998	2290	2396
2107	1466	2136	1754	2494	2161
1806	2001	2166	2219	2456	2149
2055	2101	2406	2391	2406	2237
2164	2065	2057	2442	2461	2258
1605	1747	1966	2451	1638	2255
1588	2087	2150	2158	2458	1473
2069	2098	2144	2434	2488	1970
1577	2266	2107	2406	2485	2360
0980	2300	2241	2372	2454	2172
1865	2162	1828	2326	2400	2165
1868	1961	2268	2442	2517	2397
0622	2285	2385	2414	2402	2250
0765	2116	2466	2358	2281	2285
1540	2281	2282	2381	2456	2575
1954	2304	2347	2310	2215	2358
1565	1444	2283	2384	2227	2343
2027	1723	2274	2261	2419	2375
1527	2050	2238	1472	2437	2375
1843	2118	1980	2341	2467	2285
2022	2183	1667	2328	2400	2394
2124	2263	2375	2378	2399	2423
2117	2265	2159	2336	2343	2411
2036	2252				2346
132352	52277	22312	27558	72321	22377
1723	1813	2013	2121	2229	2141
					1958
					2018
					1847
					1845
					1555
					1474

T: Total nevele

N FA: Dcree rcr FETVERLE
XX et C : Dcree nevele

M: Moyenne nevele

EN FA: Er ferre

REFLETIQUE DU SÉNÉGAL
MINISTÈRE DE L'ÉGLISEMENT
DIRECTION DE LA MÉTÉOROLOGIE NATIONALE
DAKAR YCFF EF4E14

ÉLÉVATION RADICMETRIQUE ANNEL
RAYONNEMENT SOLAIRE EN J/CM²

1982

Lieu	Latitude	Longitude	Altitude	Réf. solaire	Elevation	Intensité	Foyer	Indice			
JAN	FEB	MAR	AVR	MAY	JUN	JUL	AUG	SEP	OCT	NOV	DÉC
DAKAR-FAM	14°43'	17°26' E	282	282	282	282	282	282	282	282	282
105	1554	2256	2782	2850	2182	2570	1754	2384	2161	1985	1418
118	1520	2525	2817	2692	2495	2474	1724	1975	2165	1975	1653
1555	2145	2554	2466	2822	2376	2304	2168	1498	2132	2014	1874
122	1655	2170	2834	2704	2684	2253	1948	1754	1214	2103	1953
1848	1857	2216	2466	2767	2723	2557	1879	1958	2264	1957	1804
1887	2112	1972	2515	2735	2677	2311	1581	2175	2066	1960	1716
115	1900	2138	2223	2668	2553	2388	1324	2077	2261	1857	1845
113	1536	2038	1764	2681	2322	2010	2208	1908	2046	1930	1960
277	2121	2134	2540	2631	2589	1577	1218	1956	2244	2047	1838
113	2231	2617	2611	2557	2382	2561	1457	1514	2101	1810	1607
286	2175	2540	2746	2865	2565	1048	1445	1724	2237	1581	1523
1784	1948	2347	2781	1660	2455	1786	2352	2103	2087	1653	1984
1873	2233	2430	2361	2628	2215	2428	0982	1070	0727	1614	1556
108	2415	2384	2740	2750	1967	1904	1812	2101	1314	1621	1470
1523	2504	2387	2672	2656	2526	1855	1654	2120	1574	1565	1849
1103	2482	2332	2781	2657	2337	1952	1356	2045	2146	1856	1848
1556	2385	1500	2726	2574	2207	2135	1837	2217	2001	1992	1830
1955	2220	2621	2728	2765	2536	2232	2111	1862	1976	1482	1842
852	2538	2768	2577	2503	2532	2127	2168	1904	1859	1360	1346
571	2288	2687	2472	2334	2202	2135	2113	1672	2077	1938	1286
1103	2345	2481	2782	2563	2496	2125	1134	1929	2144	1860	0633
1056	2450	2676	2665	2281	2458	2135	1945	1405	2063	1743	1565
1088	1086	2586	2651	2275	2454	2135	0971	1943	2128	1630	1244
1557	1632	2588	2337	2536	2539	2135	1707	2056	2187	1647	1289
1988	2298	2462	2442	2428	2606	1955	1803	1048	1565	1335	1480
1030	2535	2272	2747	2264	2261	2101	1885	1657	2245	1412	1821
1164	2326	2177	2666	2133	2283	1908	1385	1942	2111	1163	2021
1241	2582	2766	2324	2450	2058	1856	2063	1596	0731	1825	
1185	2387	2305	2528	2660	2183	2257	2048	2138	1828	1682	
173	2580	2580	2505	2735	2735	0833		2315			1498
1828	1565	2295	2421	2357	2268	2003	1588	1746	1863	1620	1515

: Total moyen

FA: Ferme ferme ferme

X et C : Ferme fermée

: Moyenne moyenne

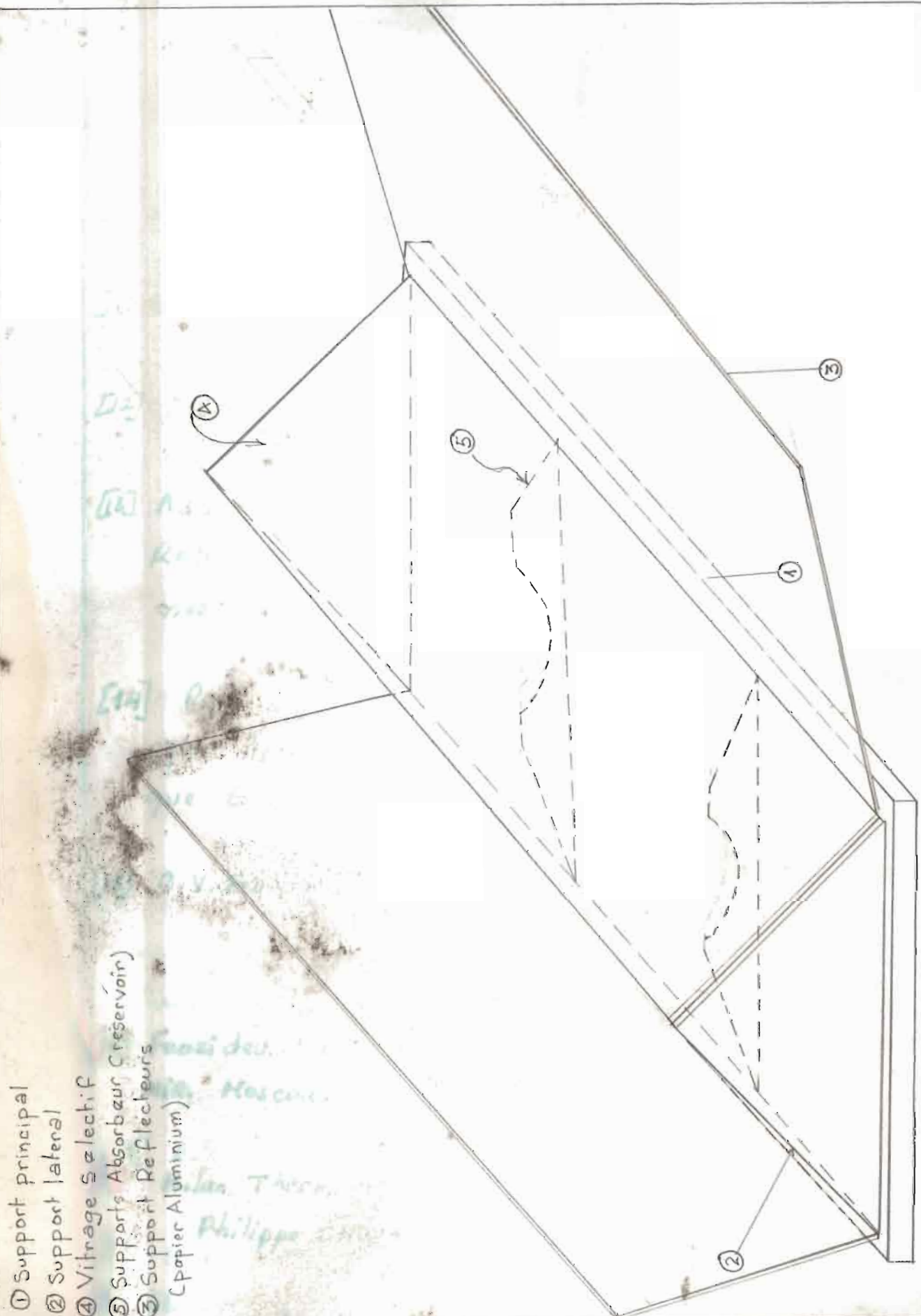
EN FA: Ferme

BIBLIOGRAPHIE

- [1] Solar Thermal Engineering P.J.Lunde
John Wiley & Sons
- [2] J.K. Page "The estimation of monthly mean value of daily total short wave radiation on vertical and inclined surfaces from sunshine records for latitudes 40°N - 40°S " paper N° 35/5/98 (1961)
- [3] S.A. Klein, W.A. Beckman and S.A. Duffie
Monthly average solar radiation on inclined surface. Report 44 Engineering Experiment station, University of Wisconsin Madison 1977.
- [4] S.A. Klein "Calculation of monthly average insolation on tilted surfaces" Solar Energy 10, 325-329 (1977)
- [5] B.Y.H. Liu & Jordan "The interrelationship and characteristics distribution of direct, difuse, and total solar radiation" Solar Energy.
- [6] Choudury "Solar Radiation at New Delhi" Solar Energy 7 (2), 44-52 (1963)
- [7] D.J. Norris "Solar Radiation on inclined surfaces" Solar Energy 10, 72-77 (1966)
- [8] Gupta "Selective Surface" Mac - Graw - Hill
- [9] Delobecque R. "Les installations sanitaires"

BIBLIOGRAPHIE (suite.)

- [10] Sayigh. A.M Solar Energy engineering, Academic Press Inc.
- [11] Solar Energy volume 20, Number 2, 1978
- [12] Techniques de l'ingenieur Tome B2 : chauffage et froid
- [13] Ashrae Guide : American Society of Heating Refrigerating and Air Conditioning Engineer N.York (1966)
- [14] Projets fin d'Etudes solaires parrainé par Andre-WOLSKY (disponibles bibliothèque Ecole Polytechnique.)
- [15] C.V. Fournier "La Simulation des Systèmes" Maîtrise d'Informatique Bunoal Universités.
- [16] Feosidev. "Résistance des Matériaux" Éditions MIR. Moscou.
- [17] Bilan Thermique d'une maison solaire Philippe CHOUARD, H. Michel, M.F. SIMON Eyrolles Paris collection de la direction de Etudes et Recherches d'E.D.F



- ① Support principal
- ② Support latéral
- ③ Vitrage sélectif
- ④ Supports Absorbants (réservoir)
- ⑤ Support Réflecteur
- (Papier Aluminium)

Modibo DIOP

Matricule 371

23/3/1984

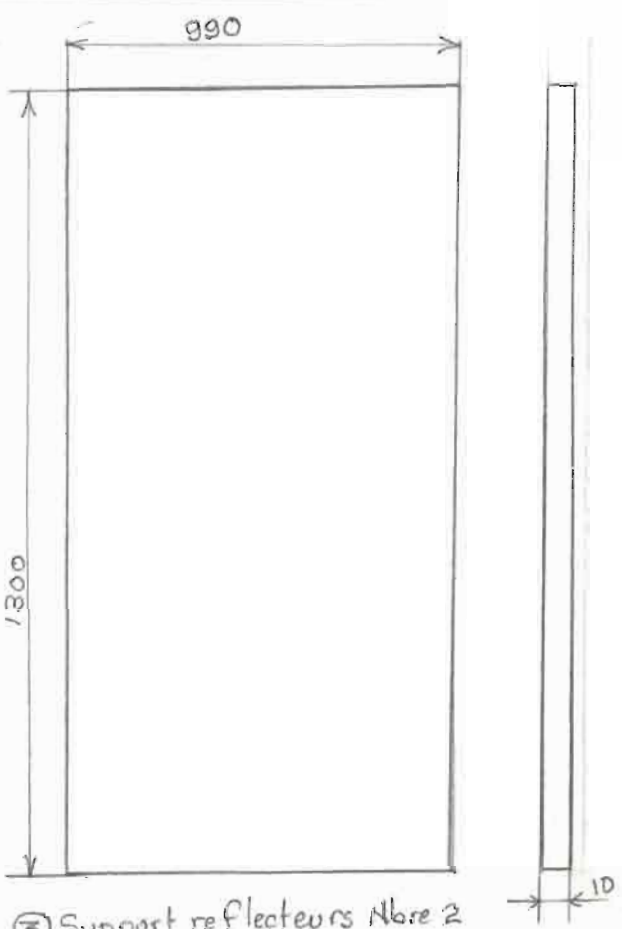
Pas à l'Echelle

PROJET FIN D'ETUDES 83/84

PERSPECTIVE DU
CAPTEUR INTEGRÉ



④ Vitrage Nbre:2

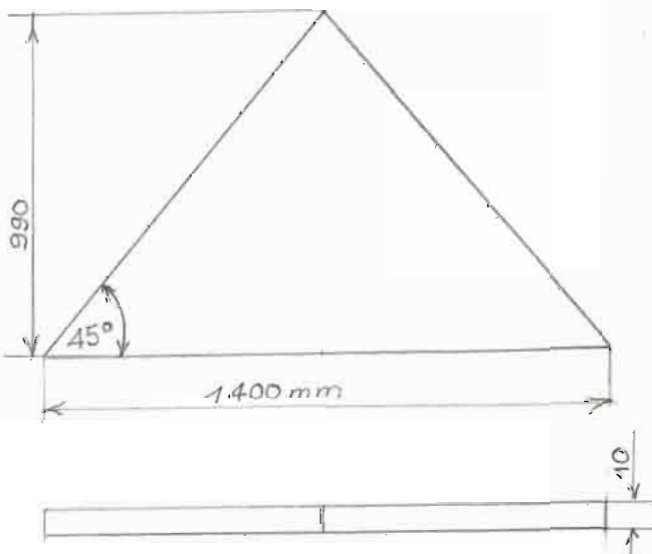


③ Support reflecteurs Nbre 2

② Support lateral Nbre:2



① Support Principal Nbre 1



Modibo	DIOP
Matricule 371	
23/3/1984	
Pas à l'Echelle	

PROJET FIN D'ETUDES 83/84

VUES DÉTAILLÉES
DES
ELEMENTS.